

FIG. 1

FIG. 2

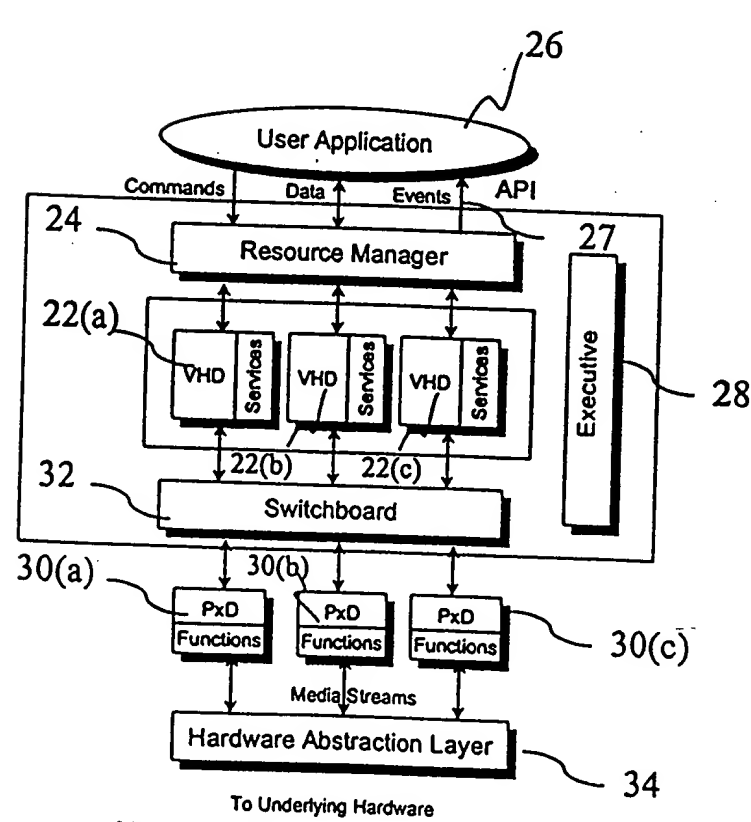
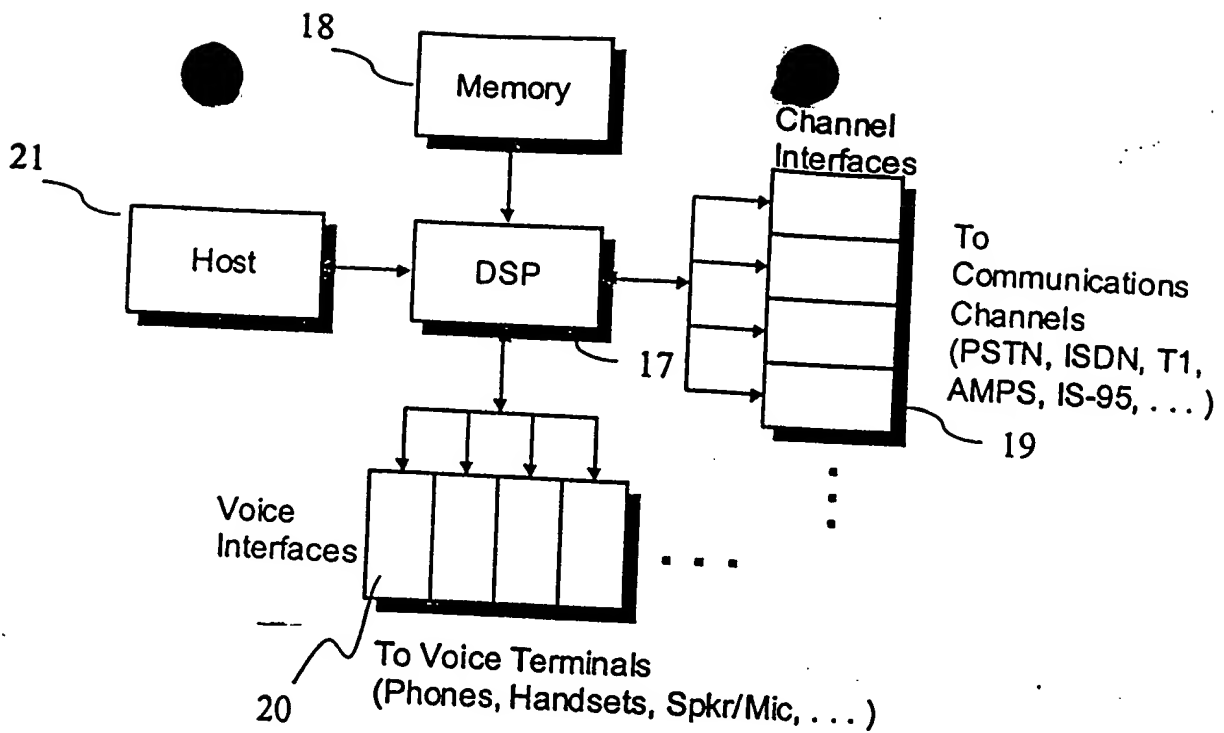


FIG. 3

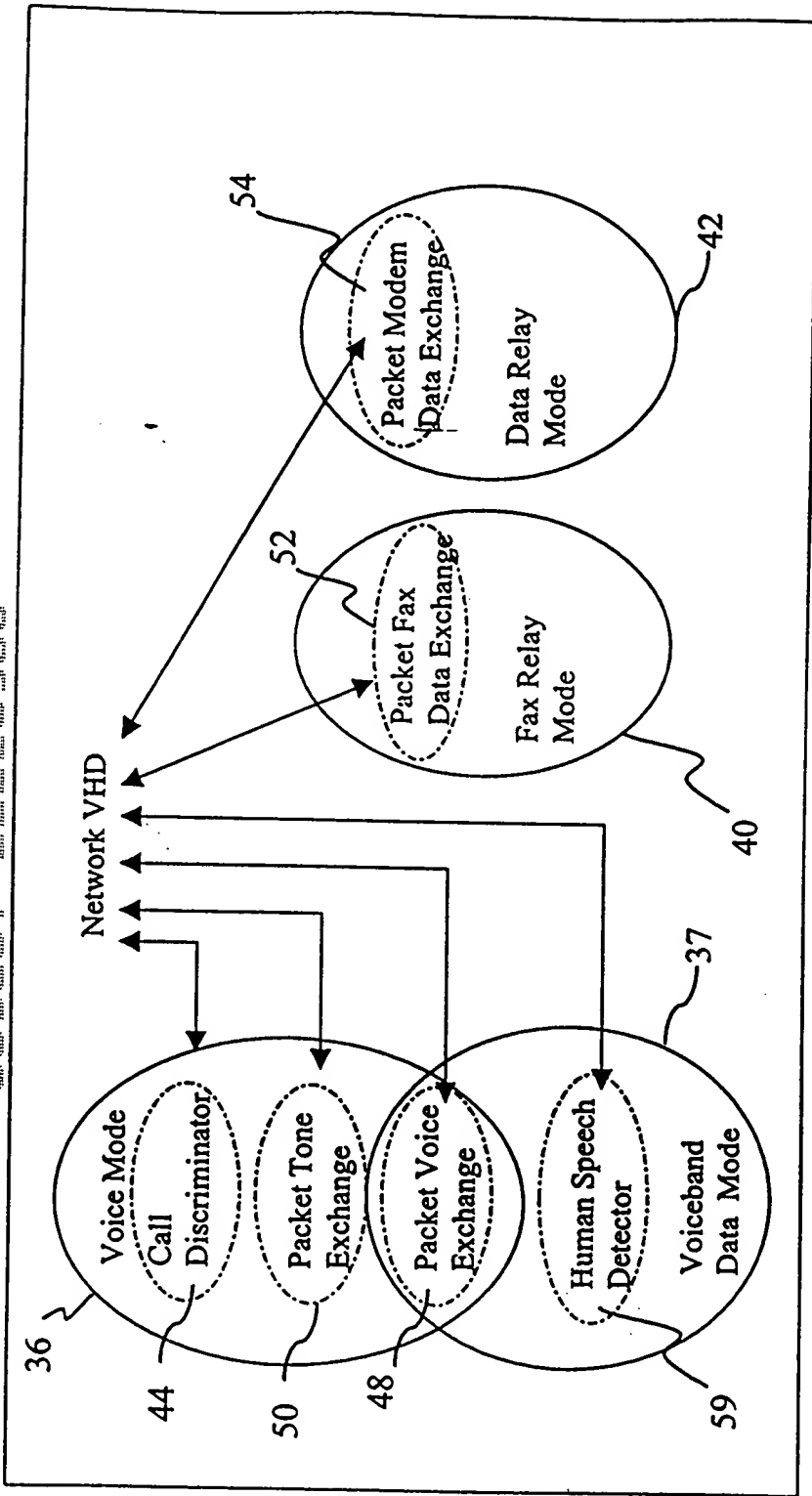


FIG. 4

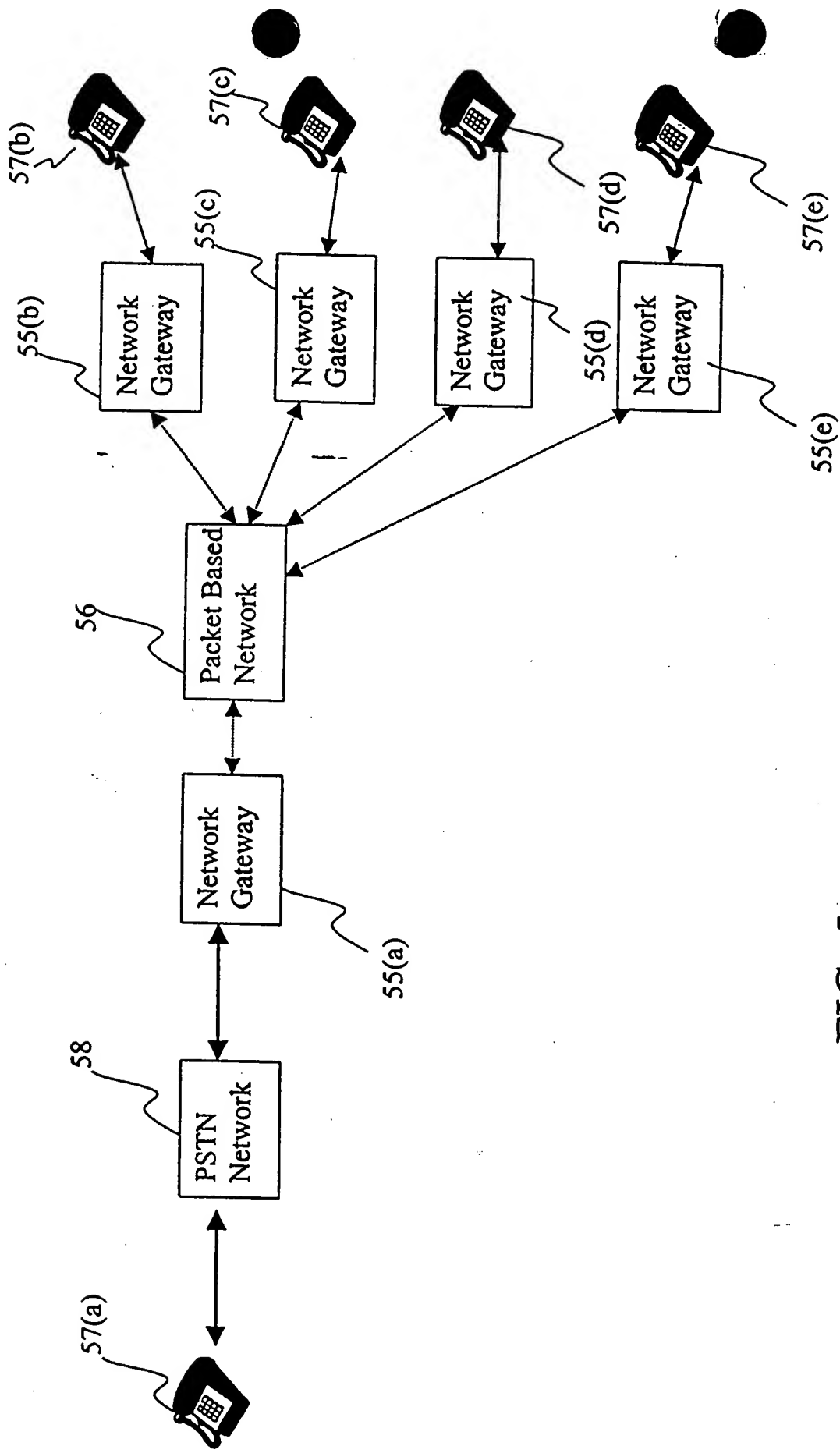


FIG. 5

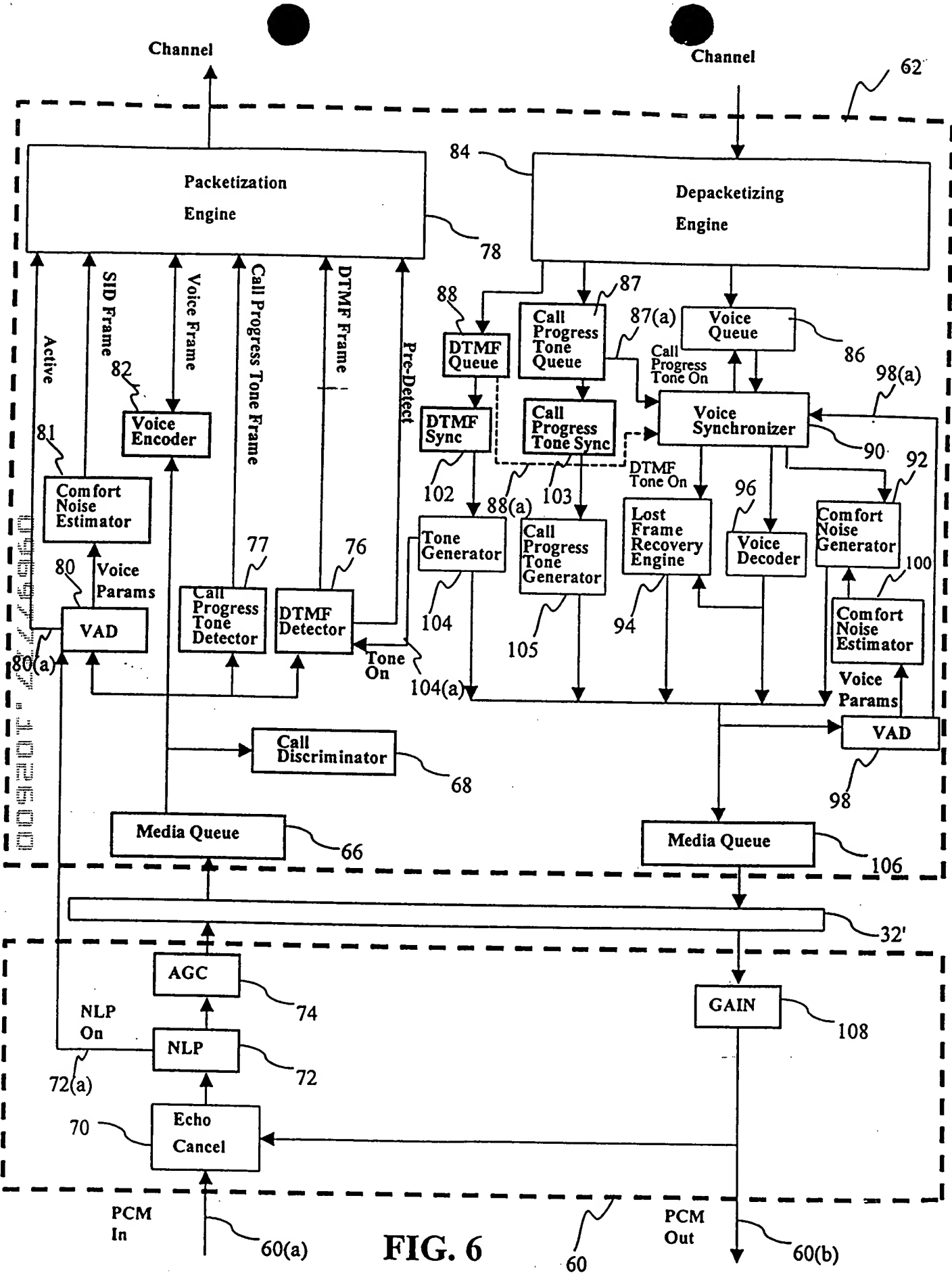


FIG. 6

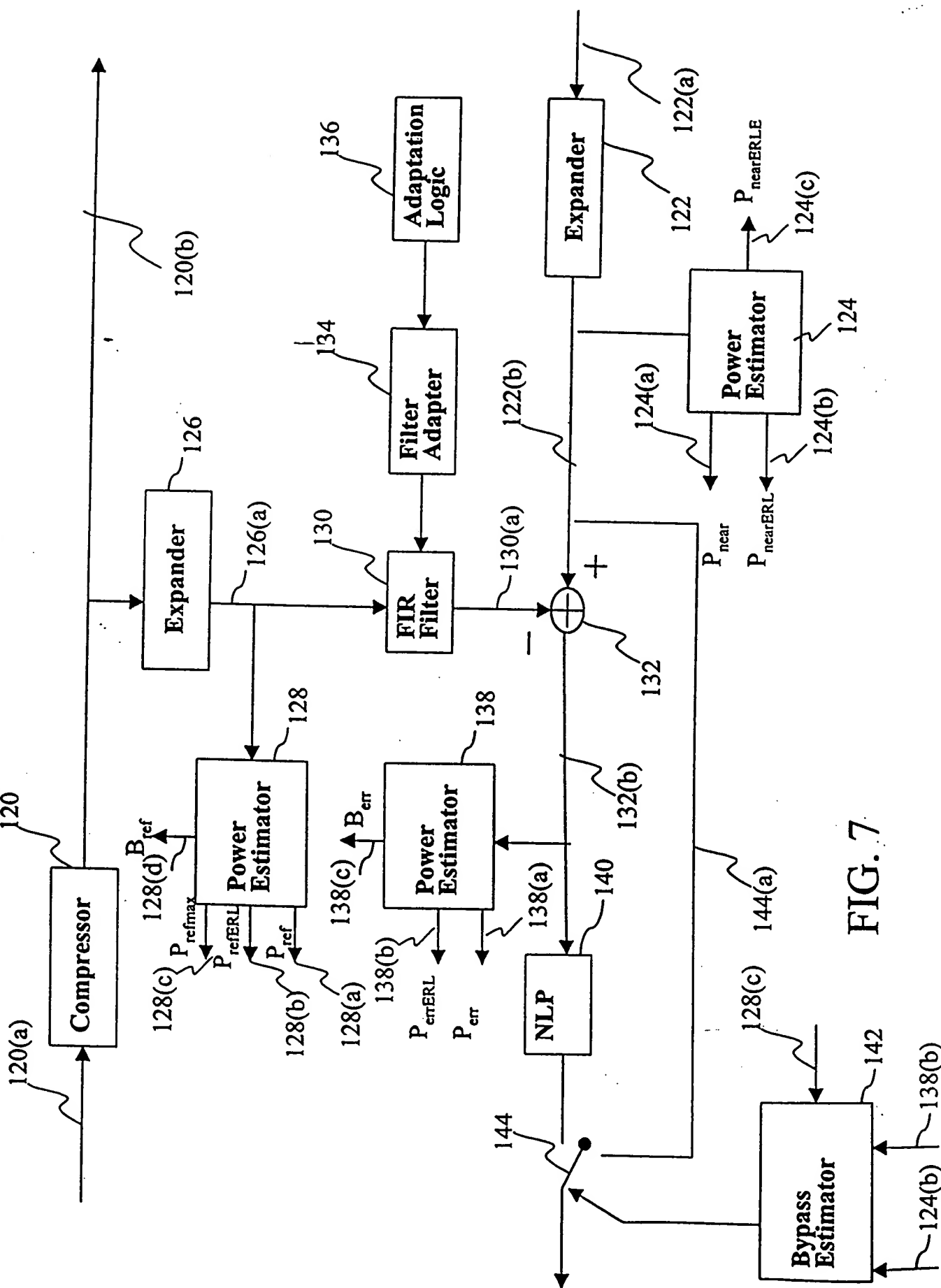
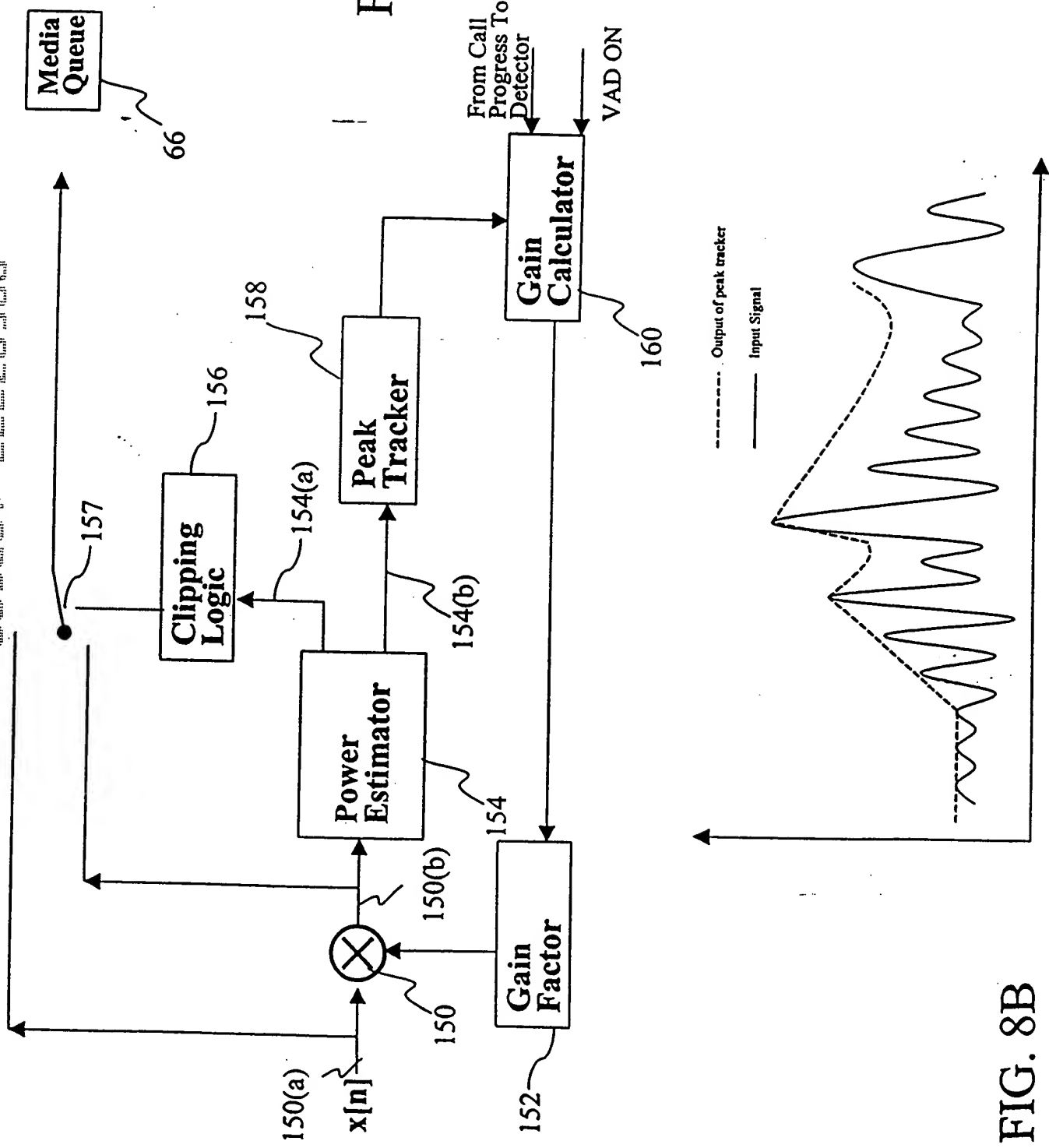


FIG. 7



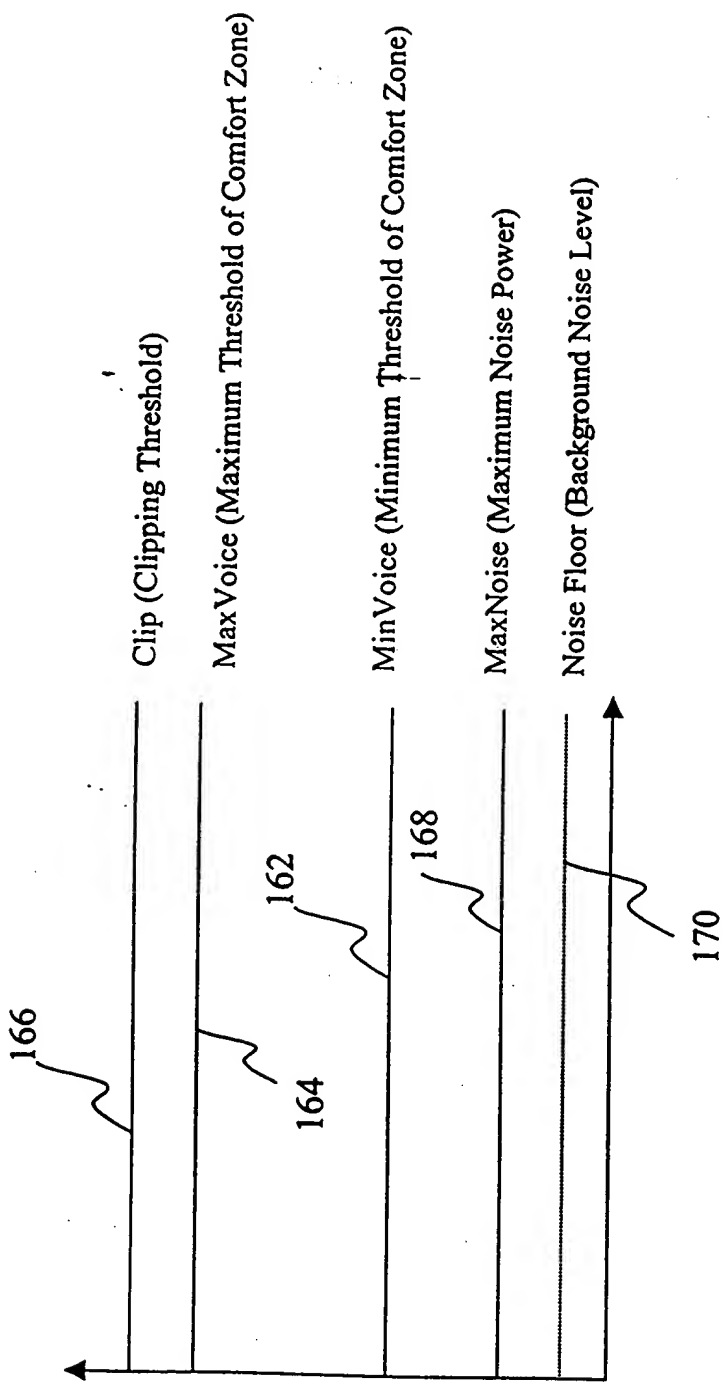


FIG. 9

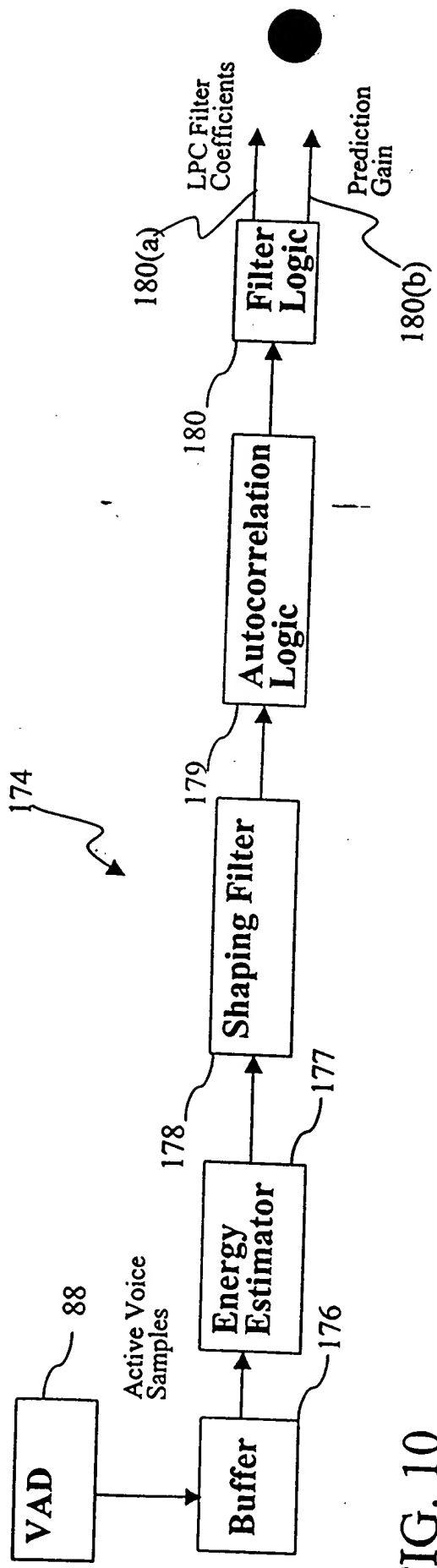


FIG. 10

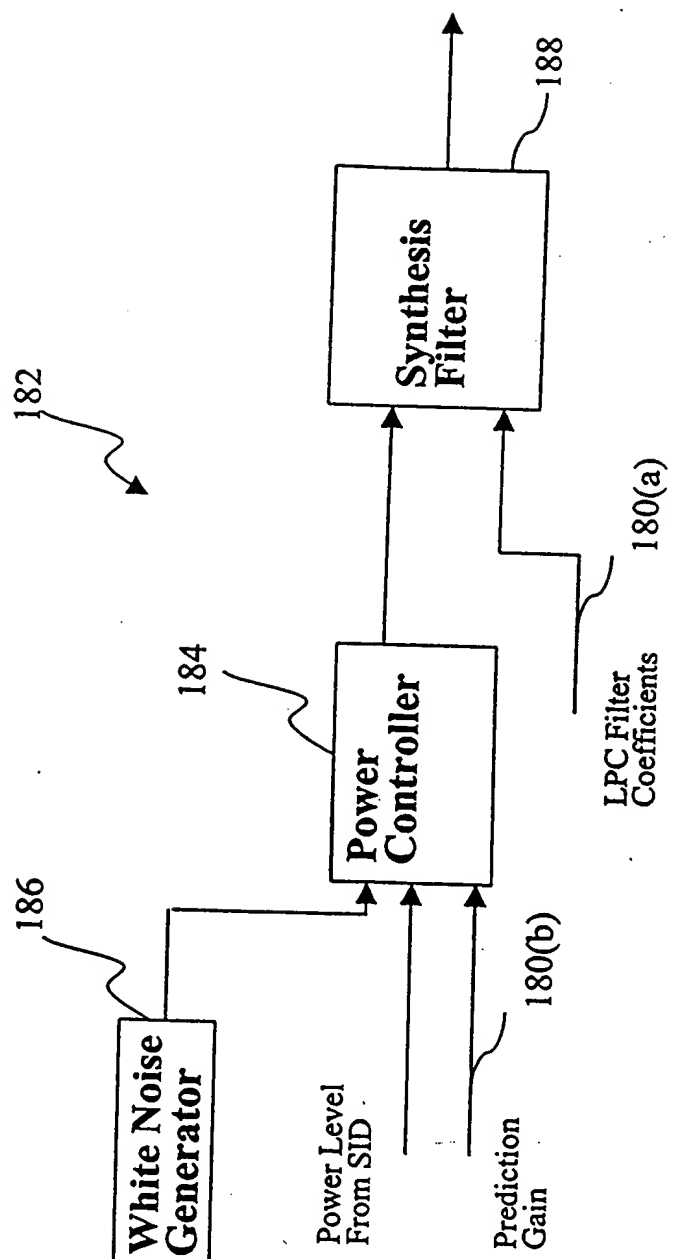


FIG. 11

© 1996 IEEE Trans. on Acoustics, Speech, and Signal Processing

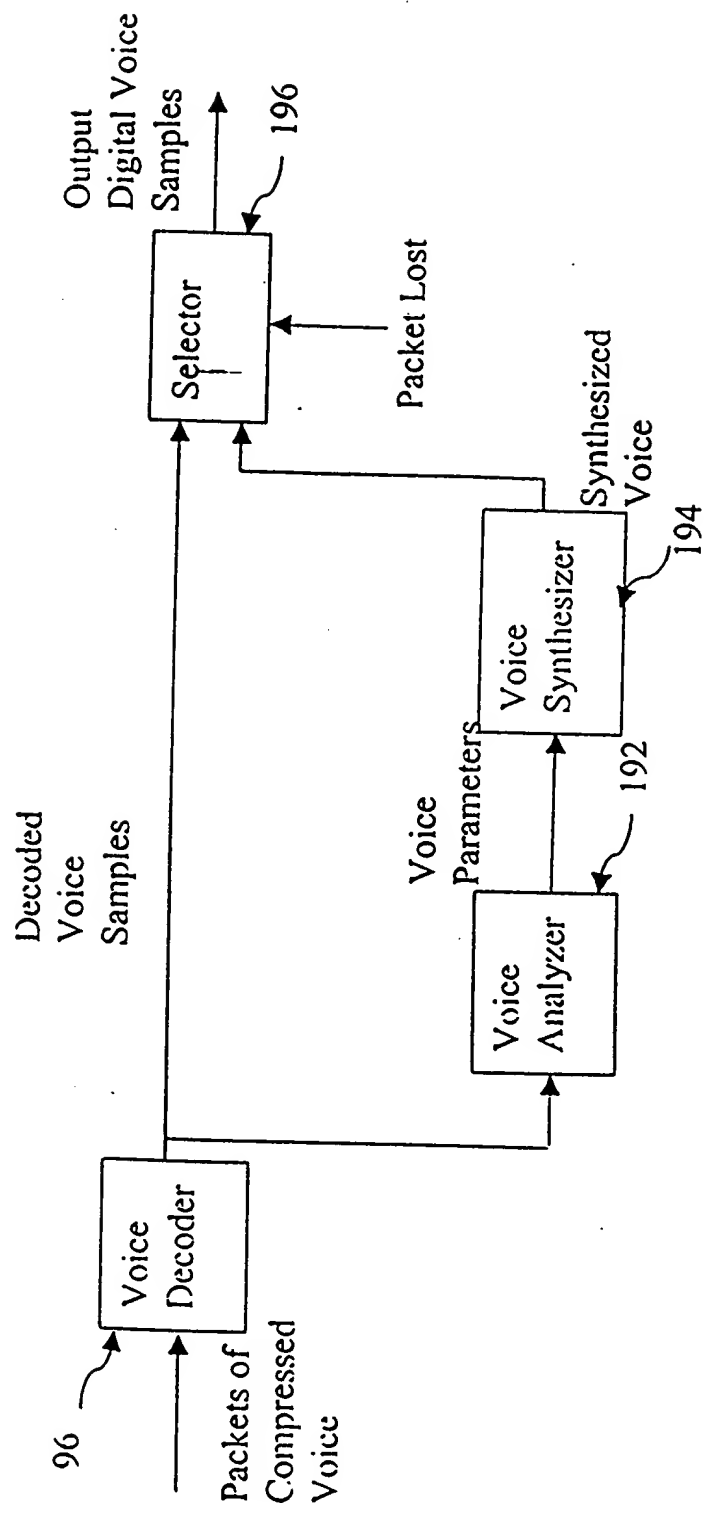


FIG. 12

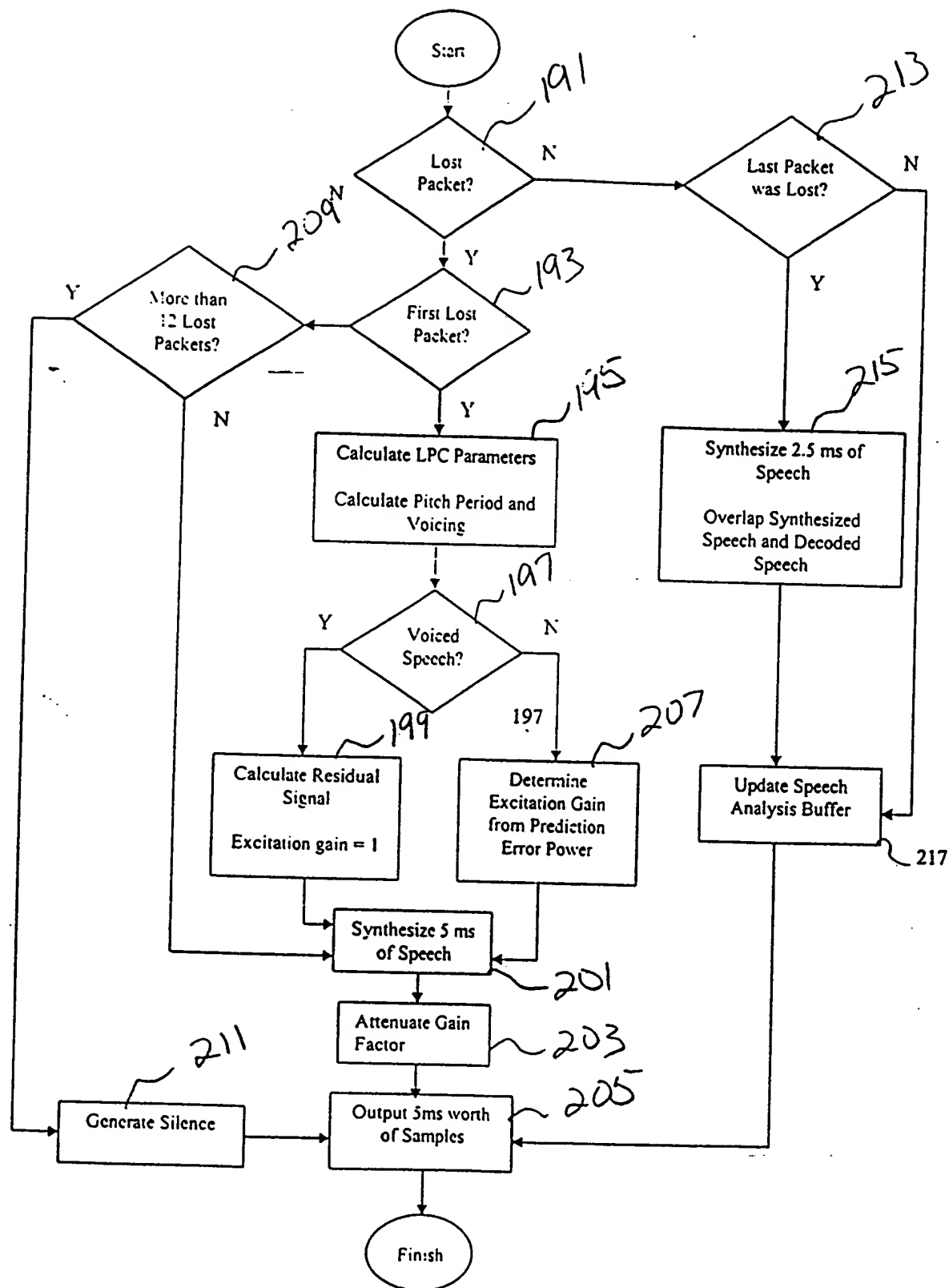


FIG. 13A

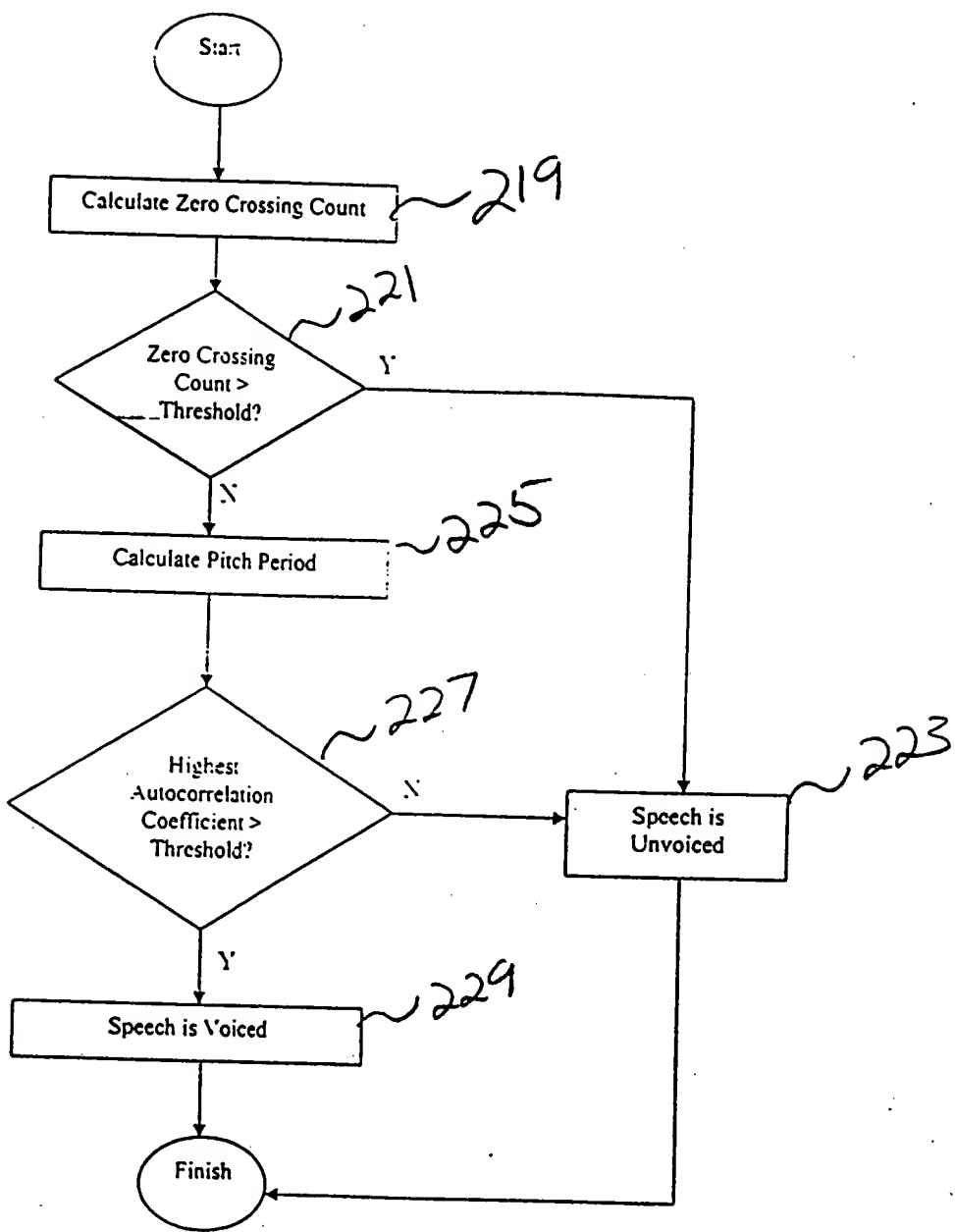


FIG. 13B

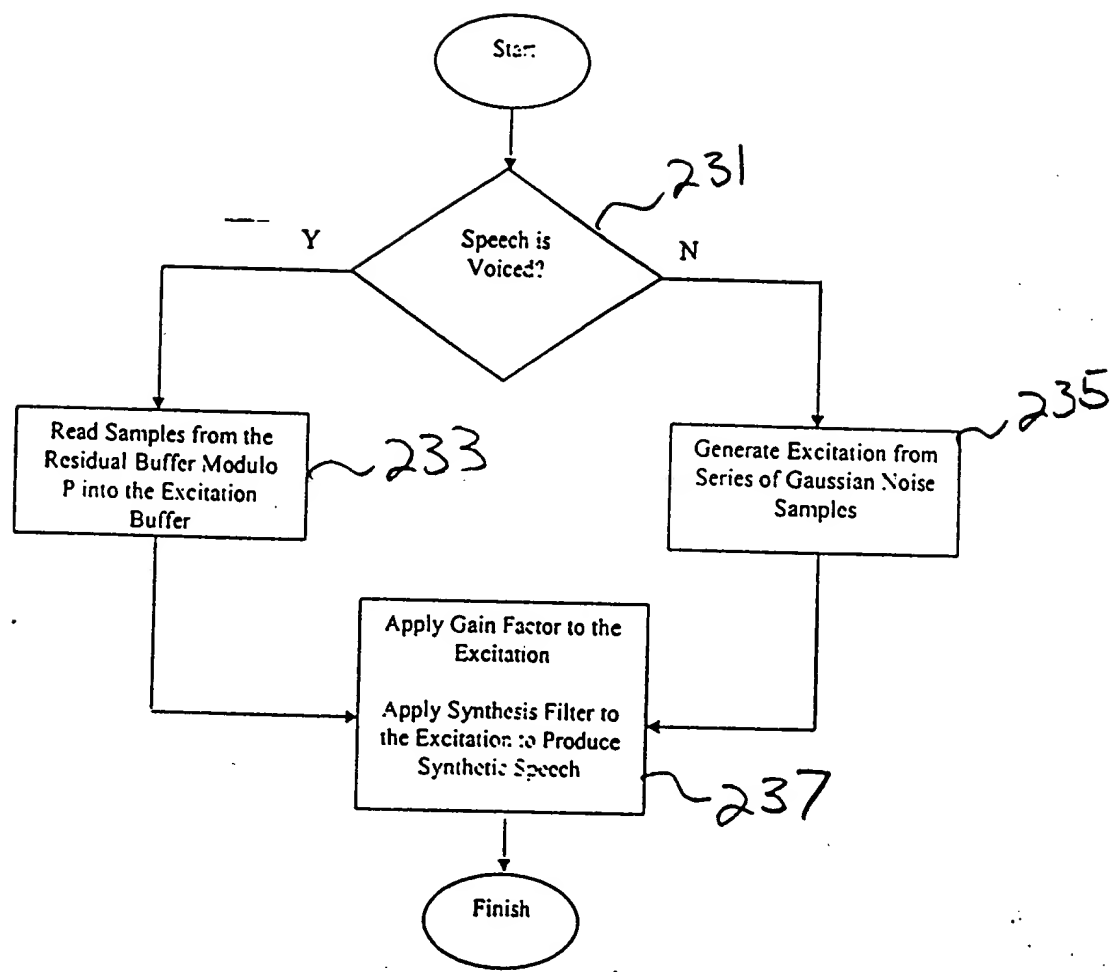


FIG. 13C

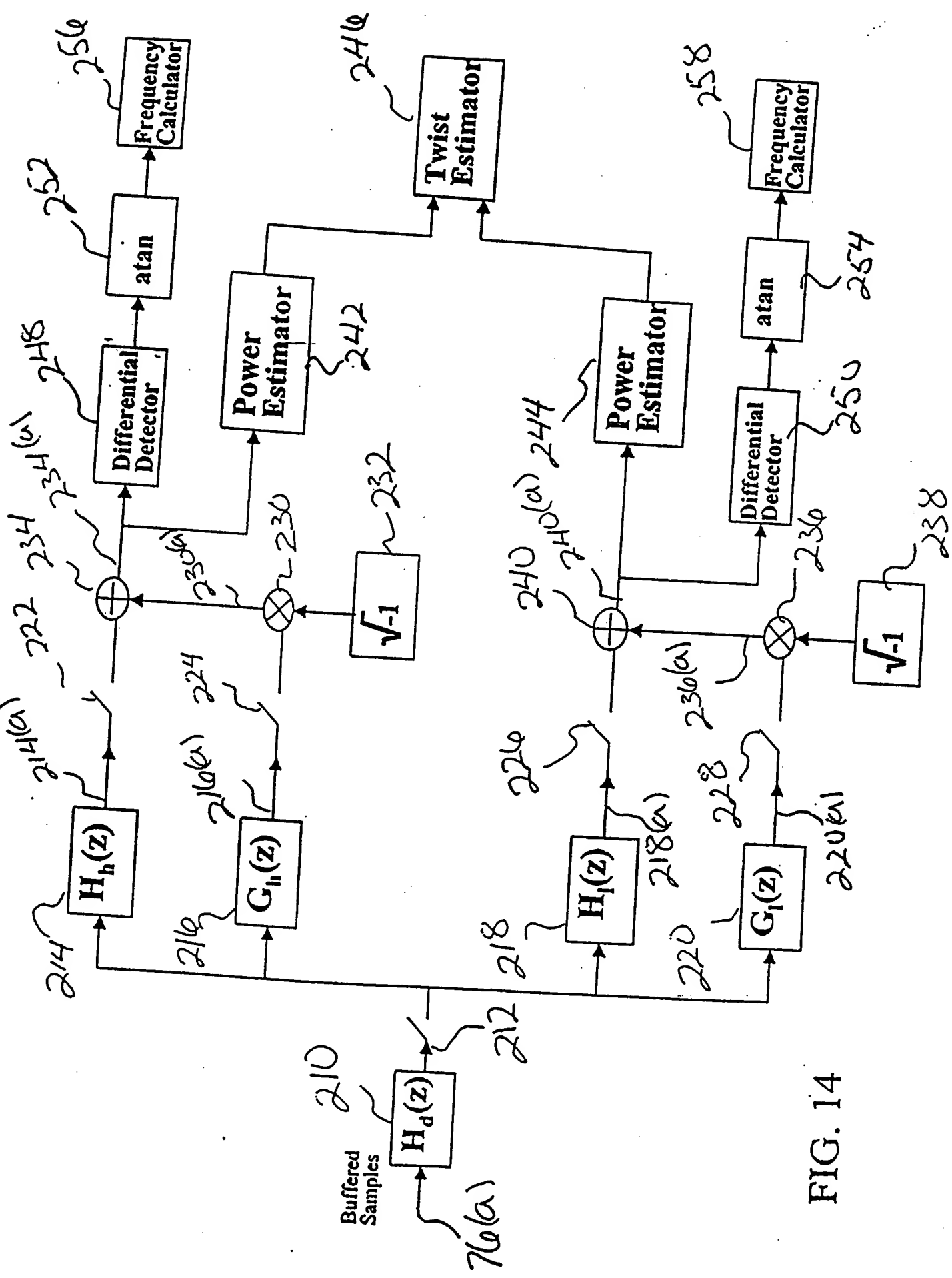


FIG. 14

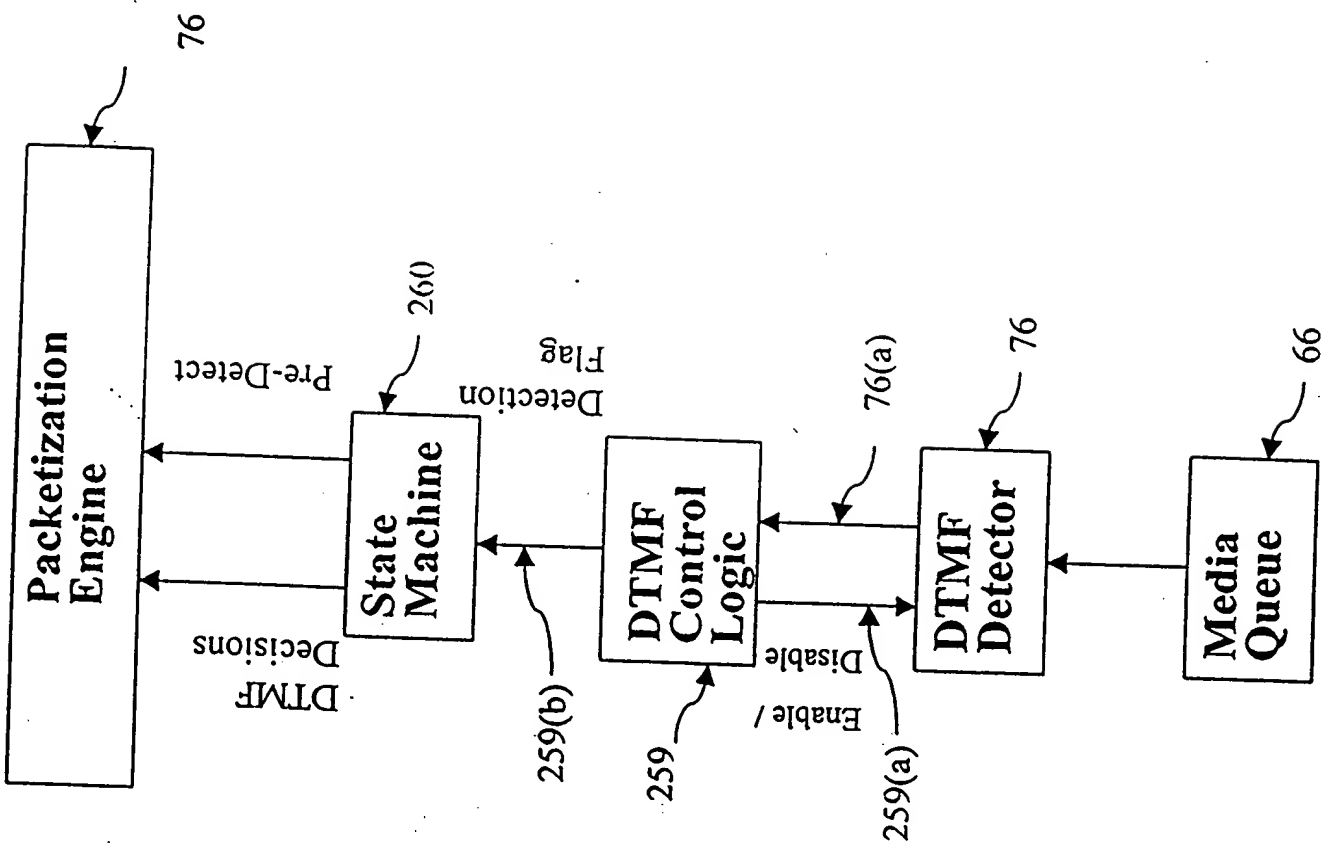


FIG. 14A

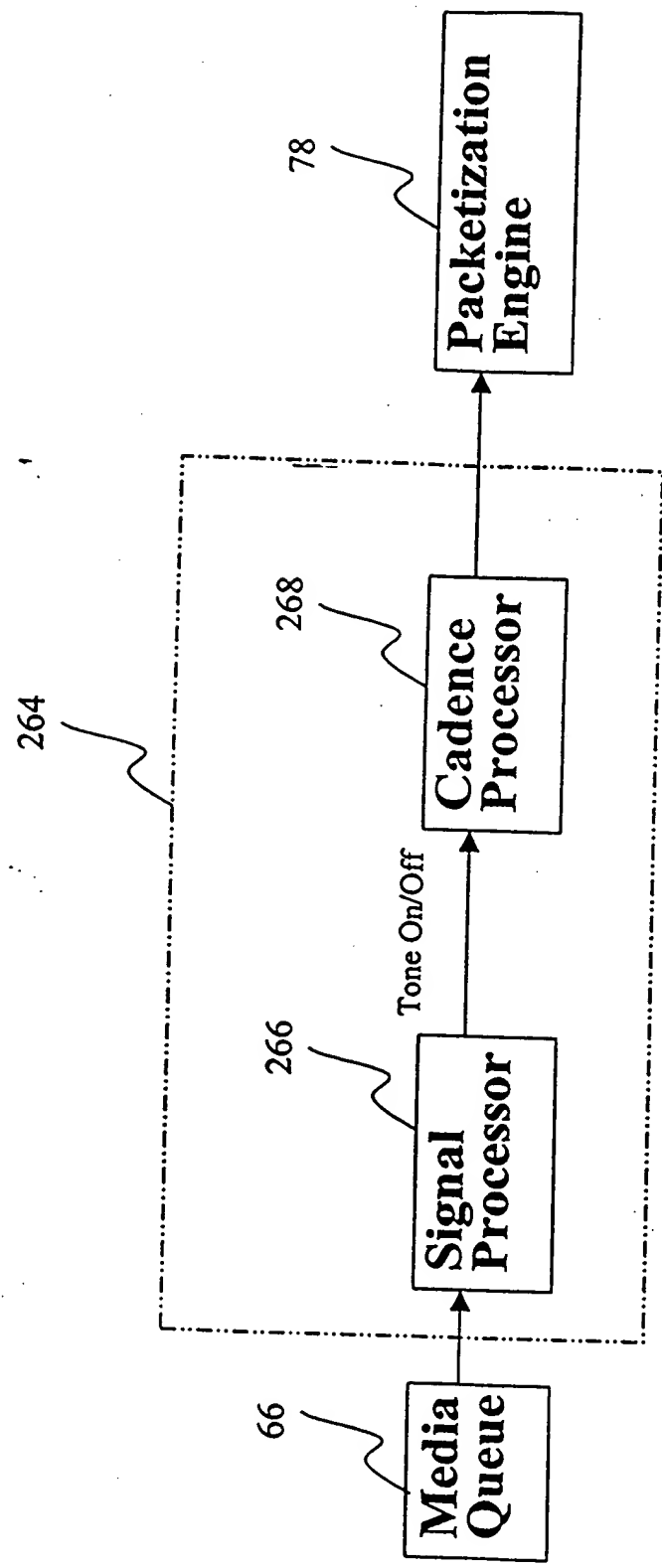


FIG. 15

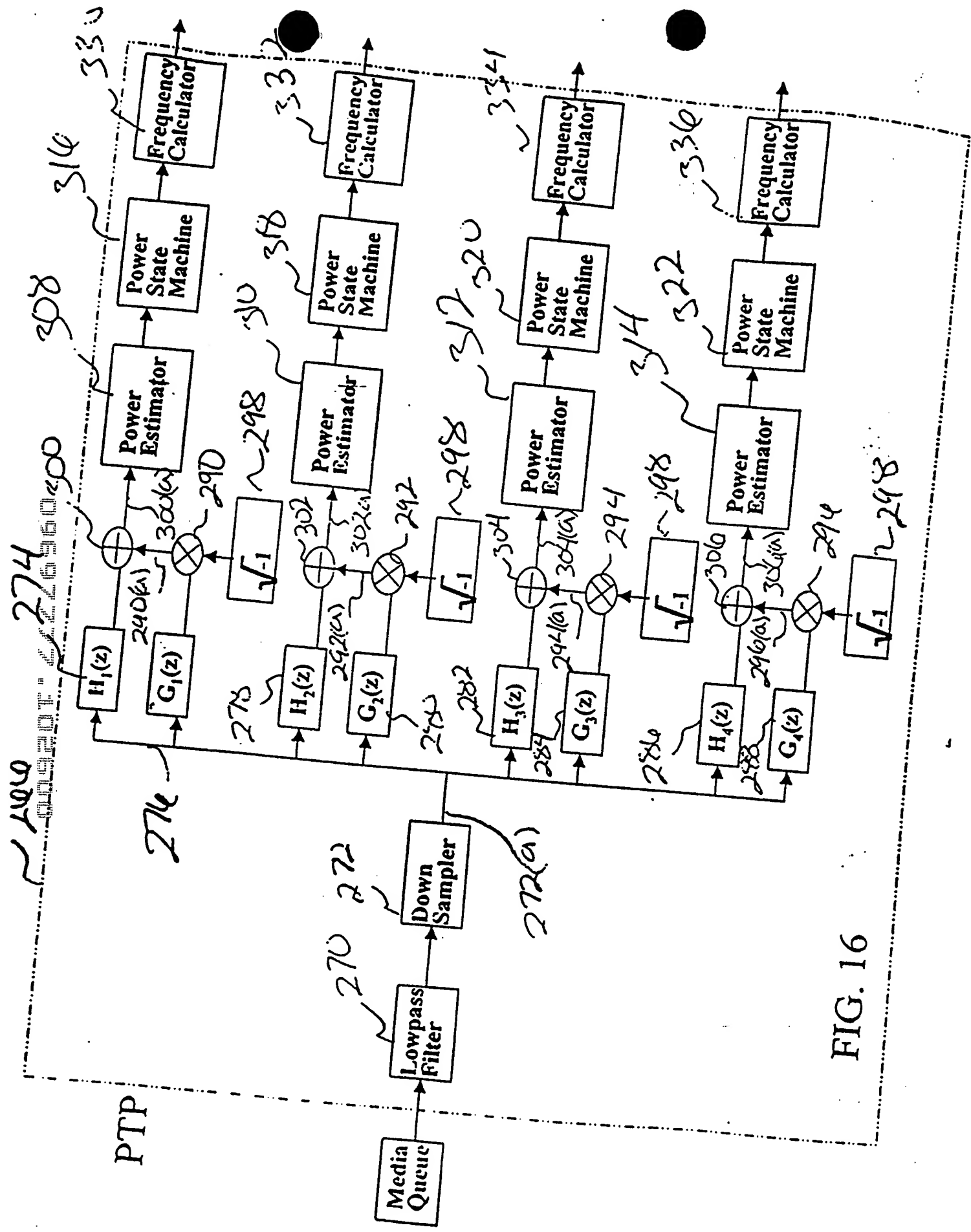


FIG. 16

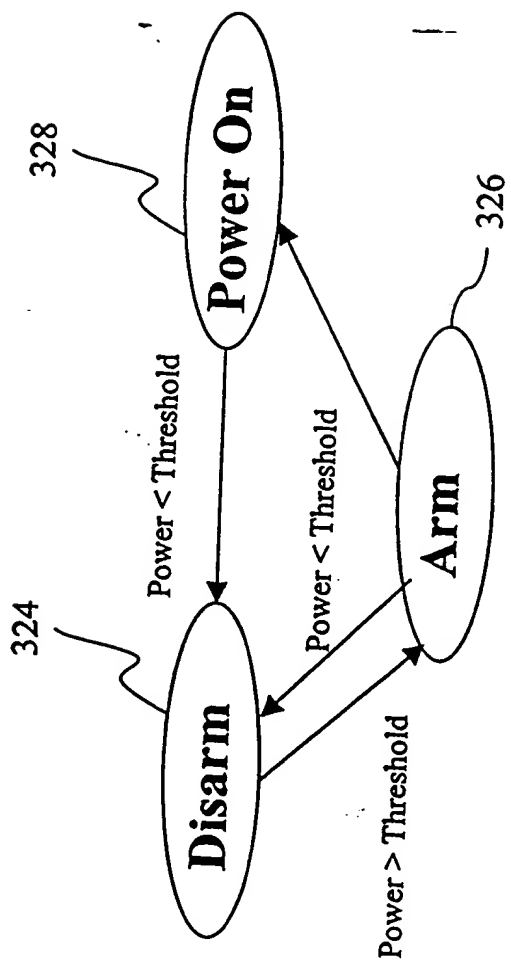


FIG. 17

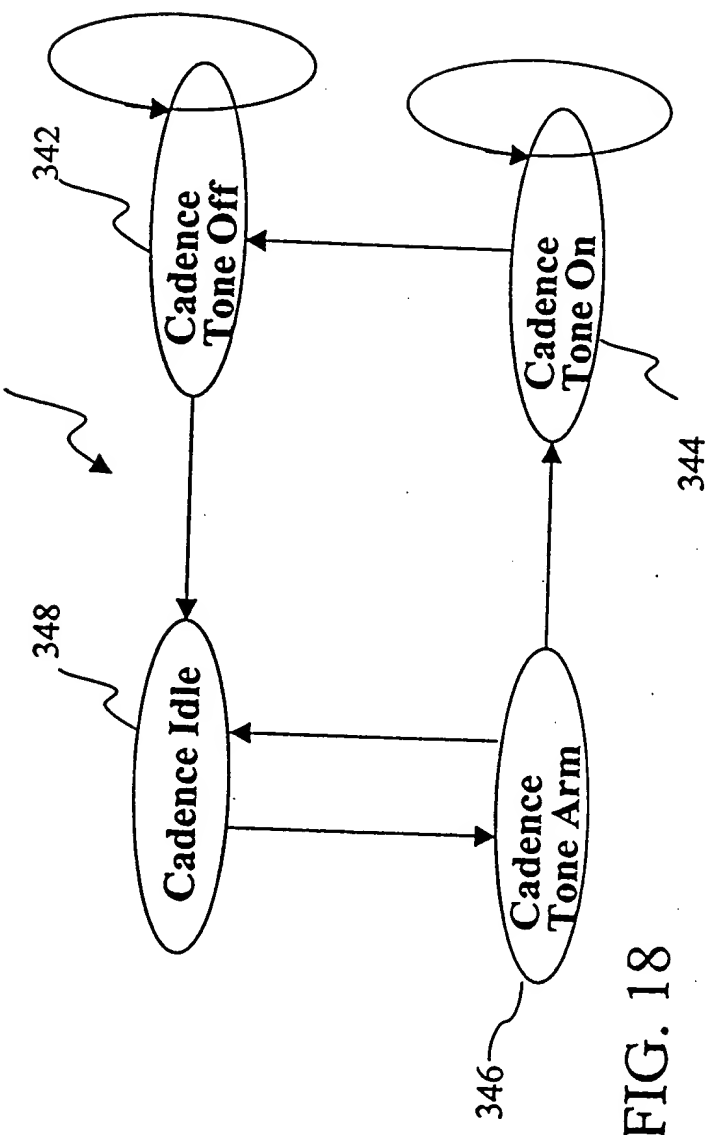


FIG. 18

268

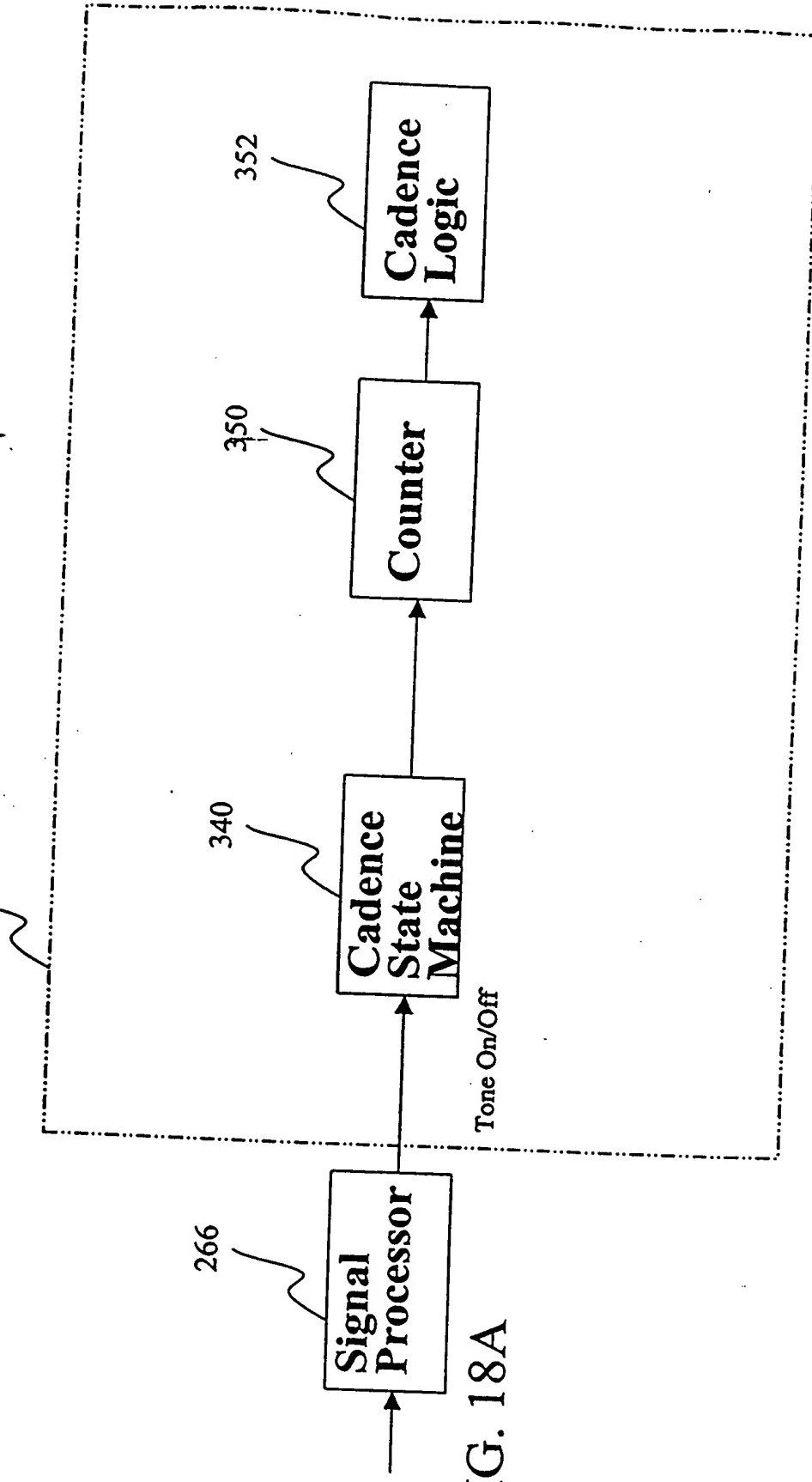


FIG. 18A

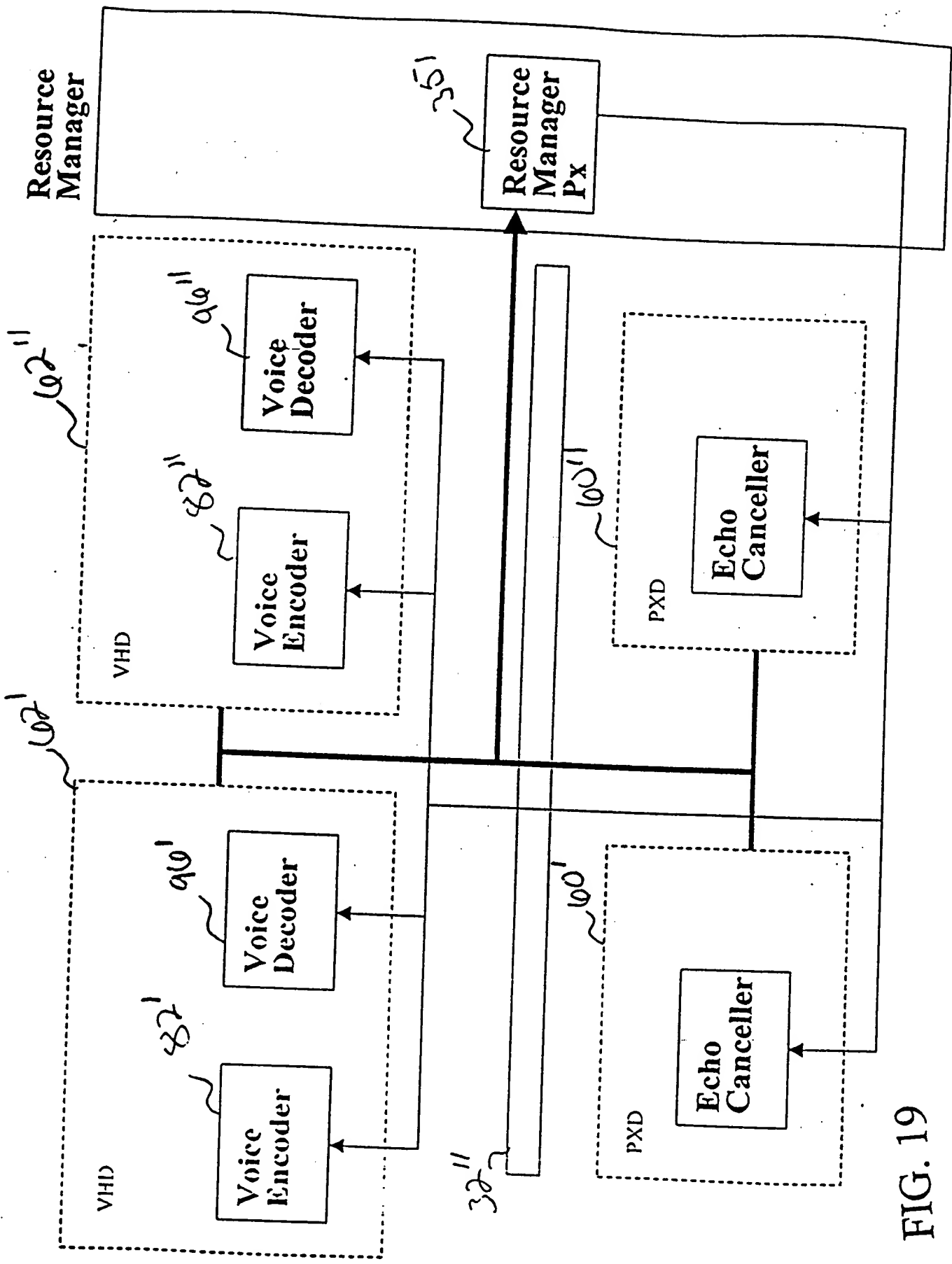


FIG. 19

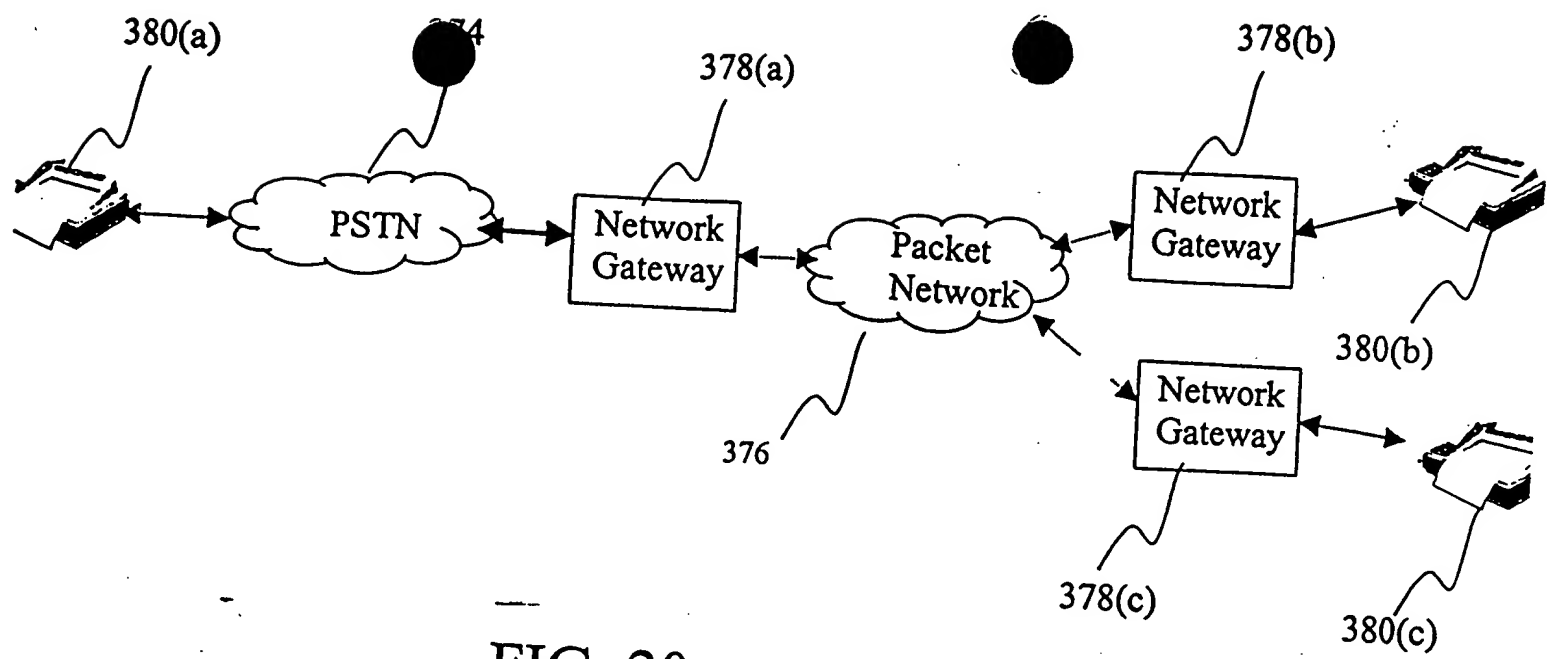


FIG. 20

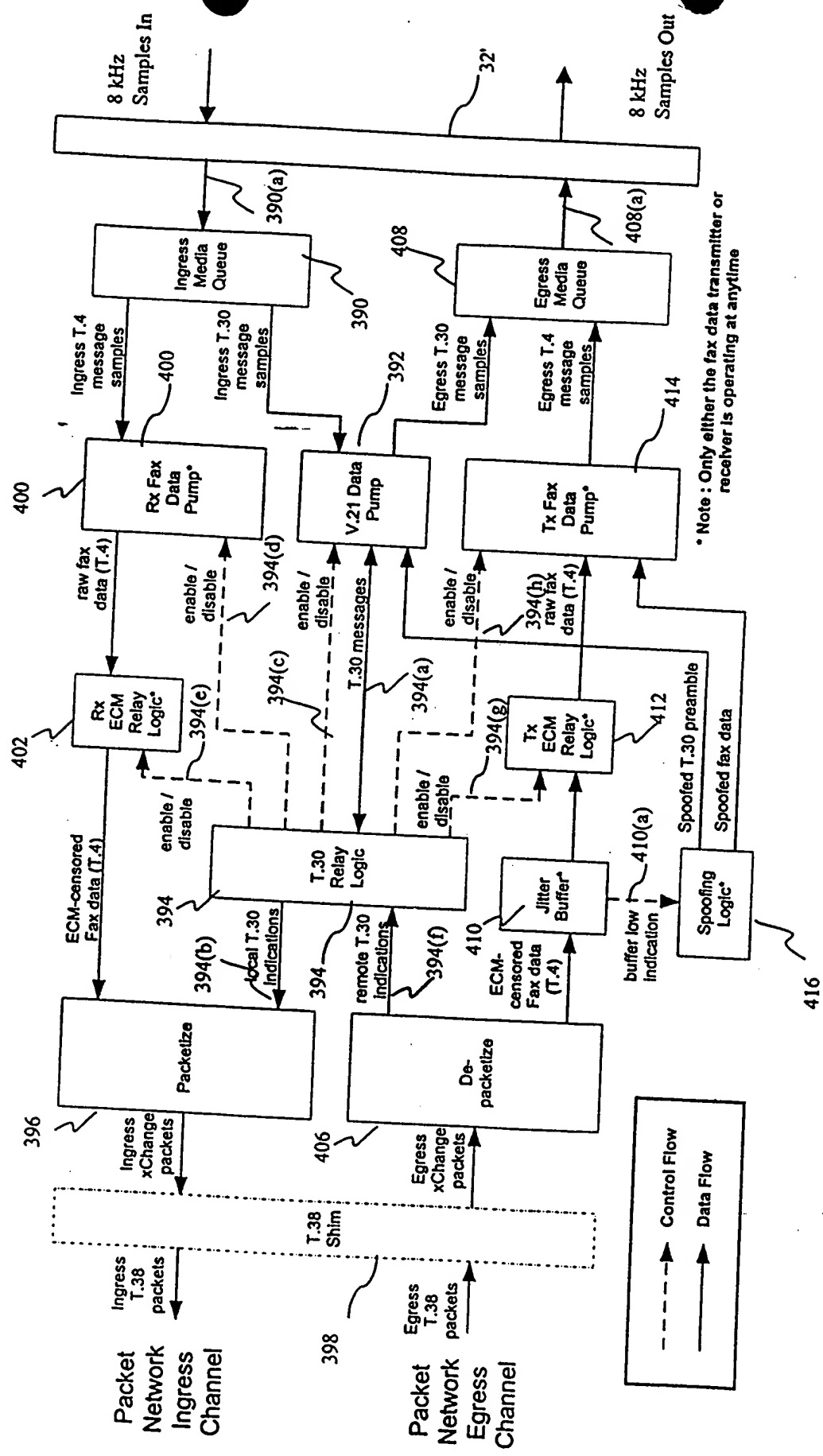


FIG. 21

0 0 380(a) 0 0 378(a) 0 0 378(b)

0 0 389(a) 378(a) 378(b)

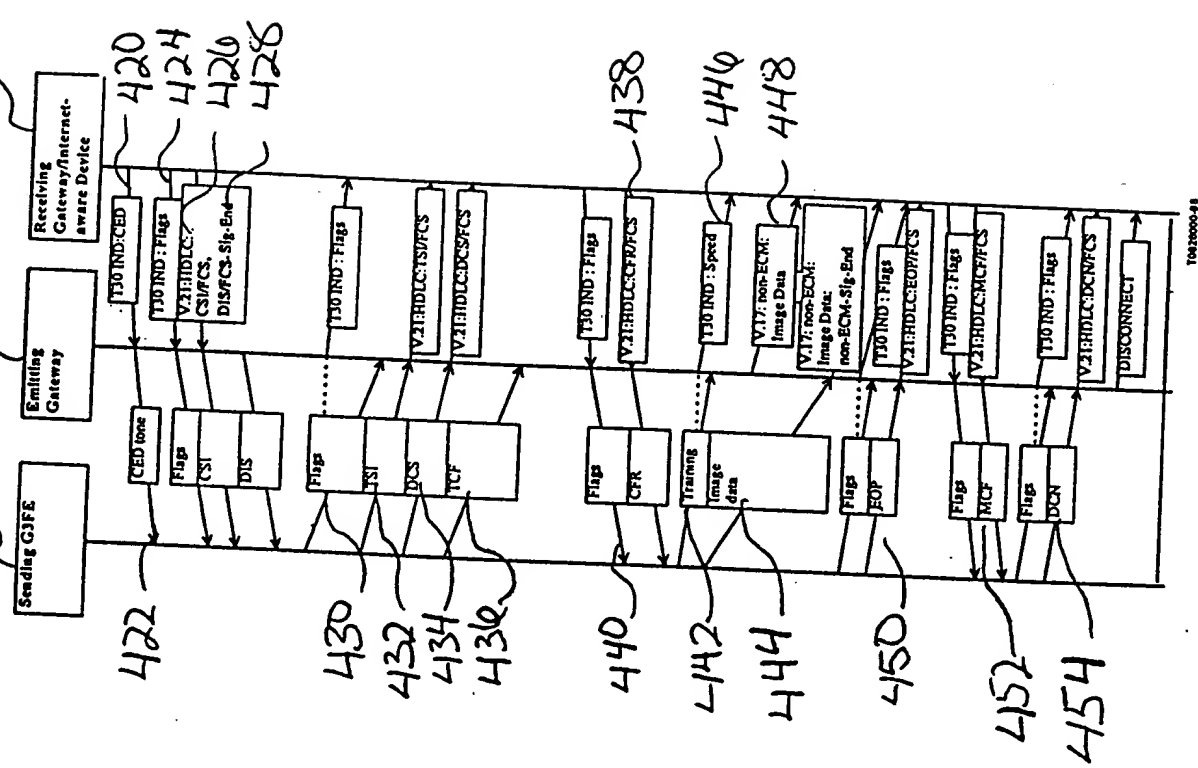
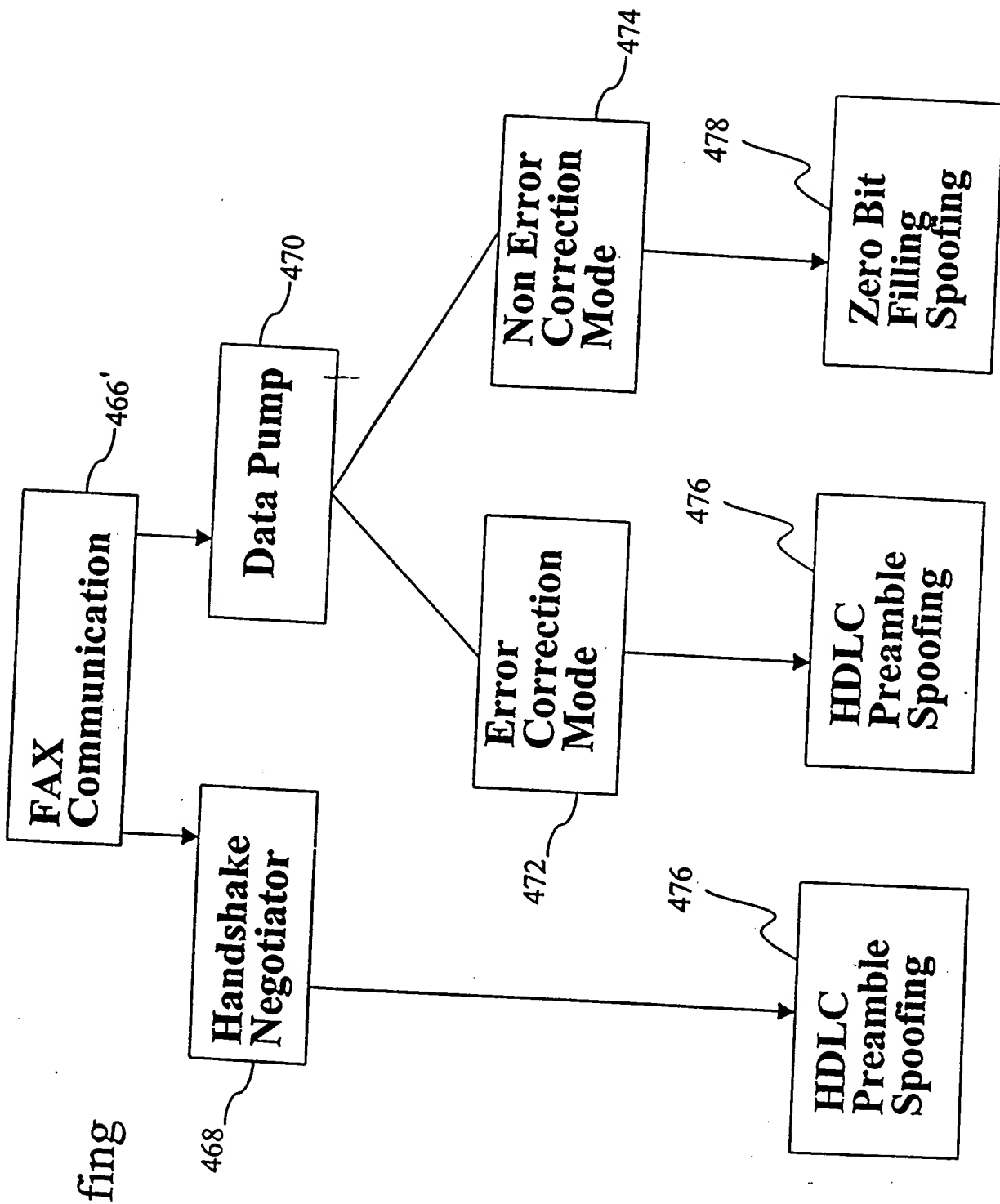


FIG. 22



Fax Spoofing

FIG. 23

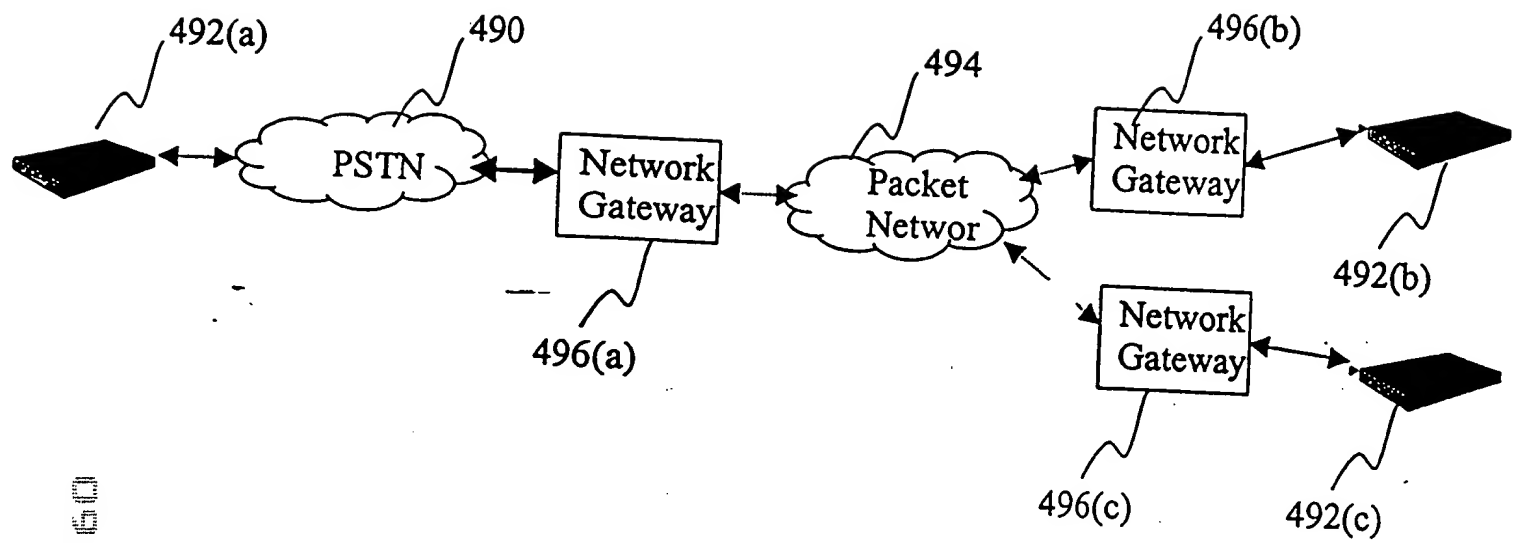


FIG. 24

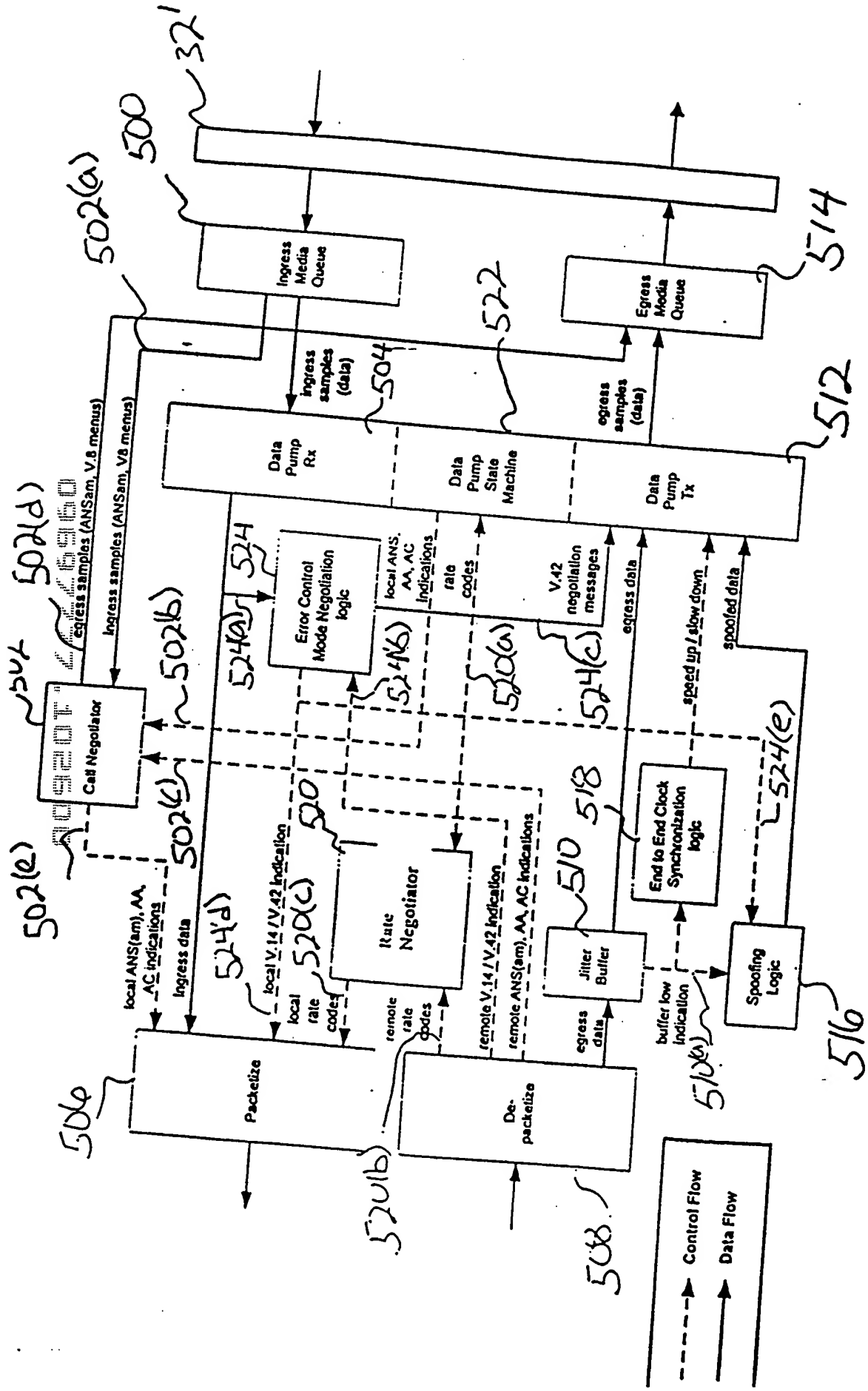
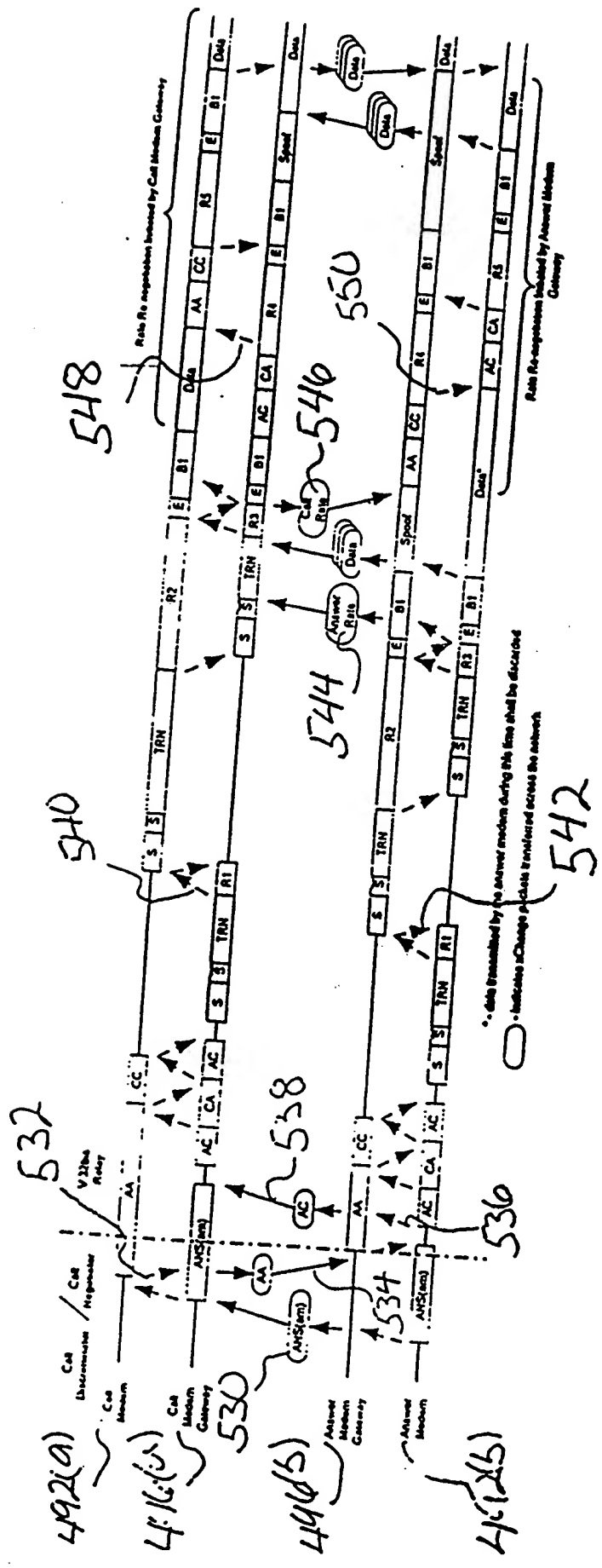


FIG. 25

FIG. 26



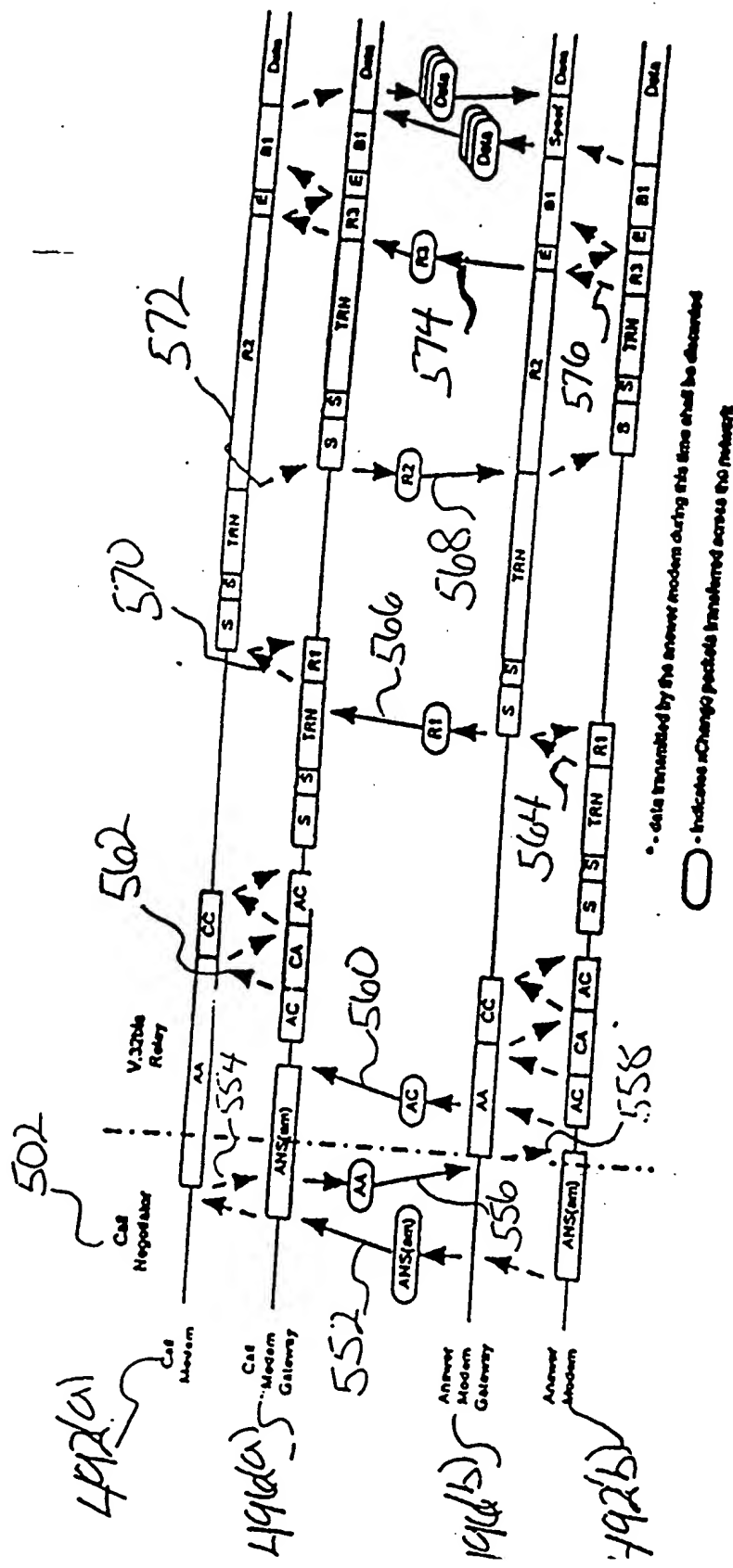


FIG. 27

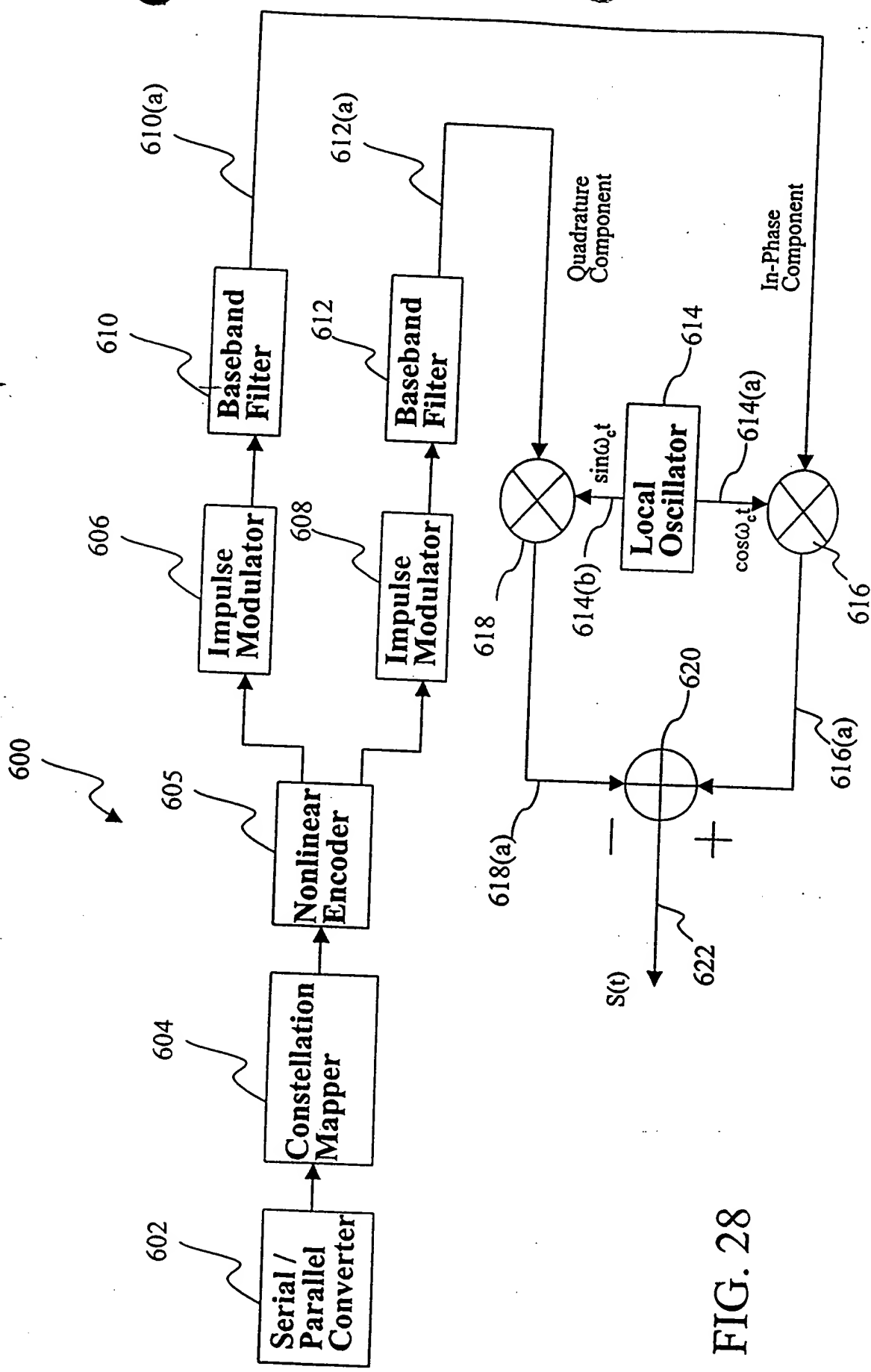


FIG. 28

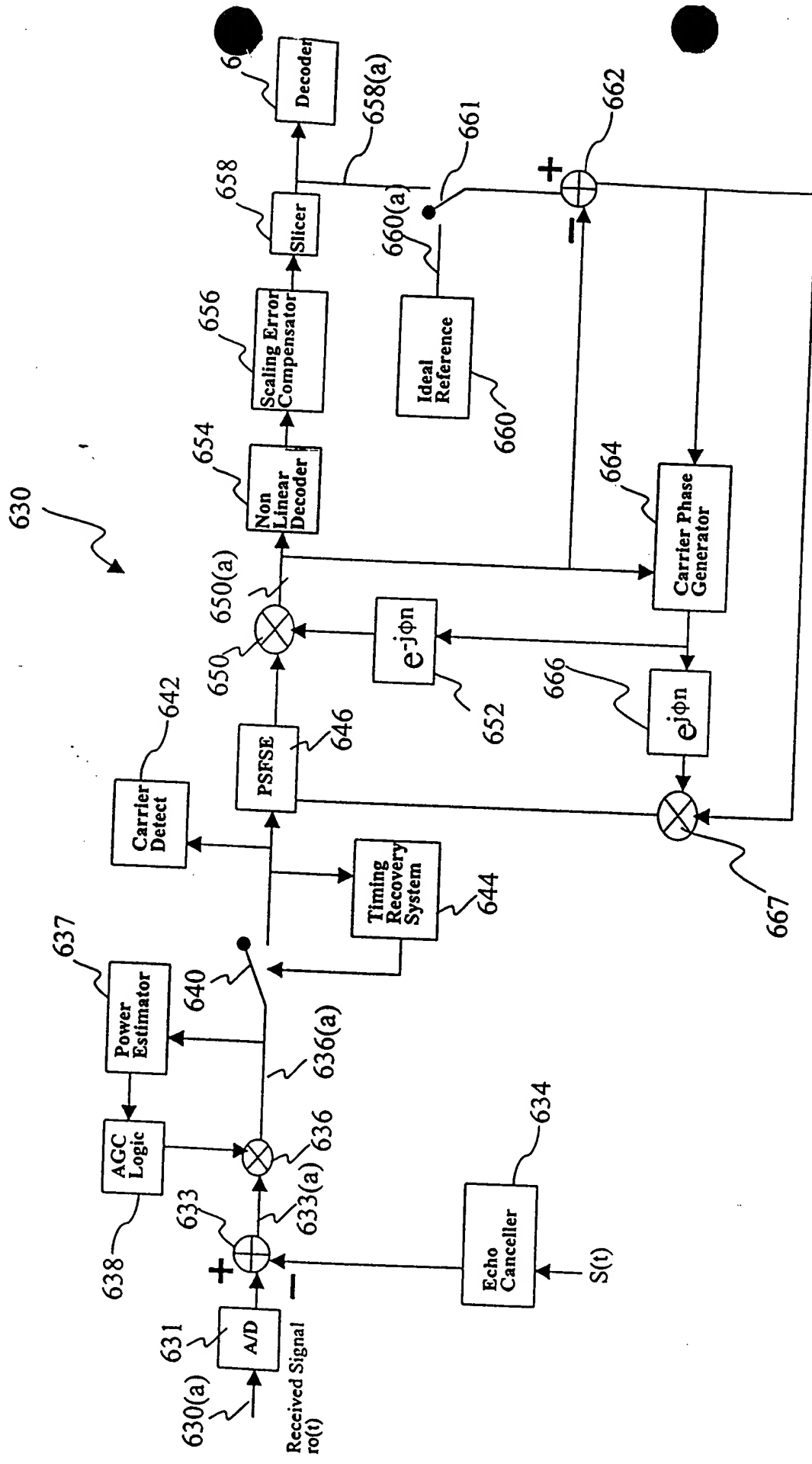


FIG. 29

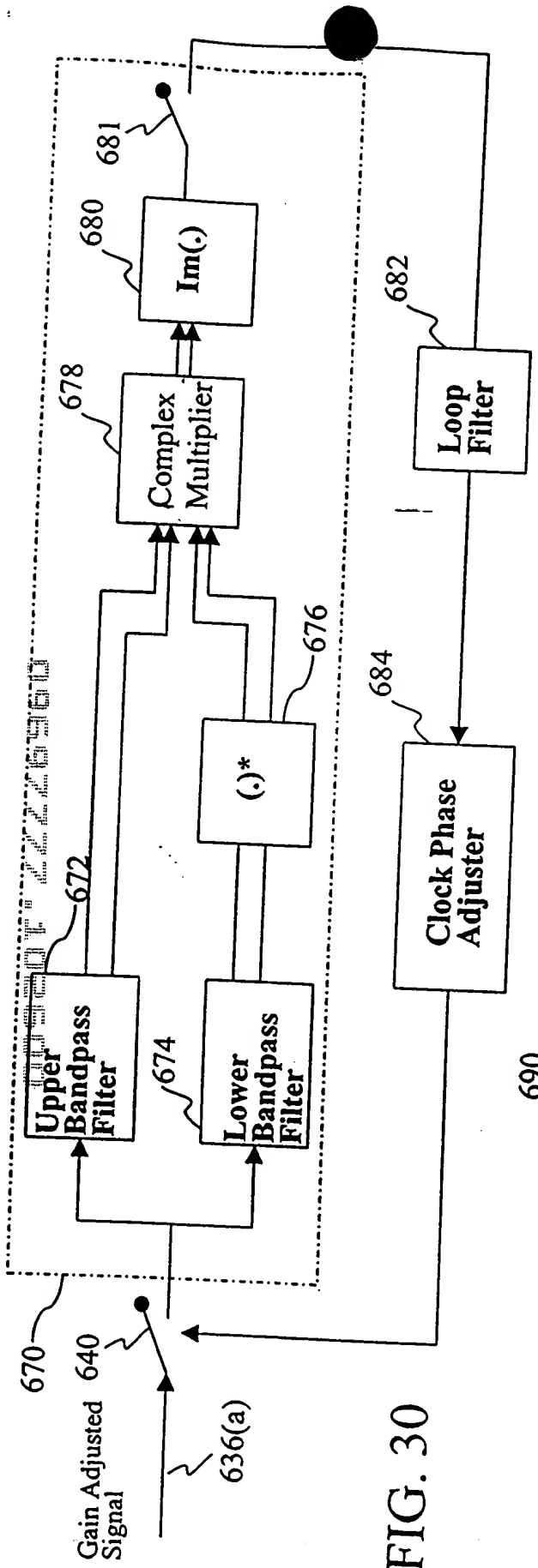


FIG. 30

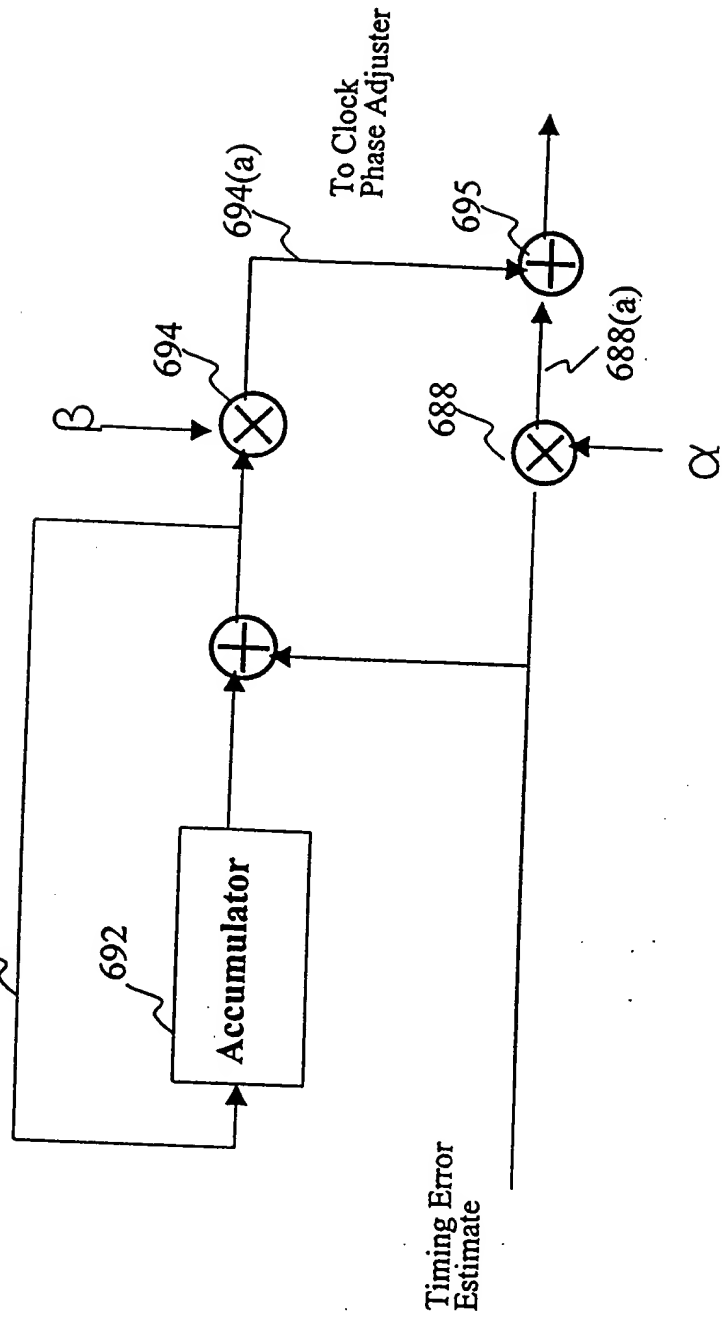


FIG. 31

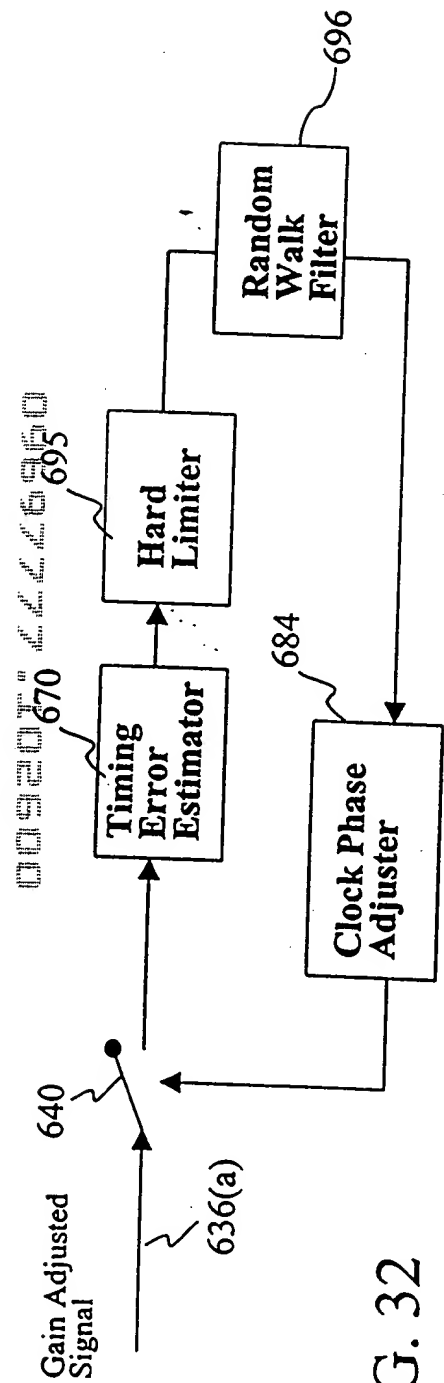


FIG. 32

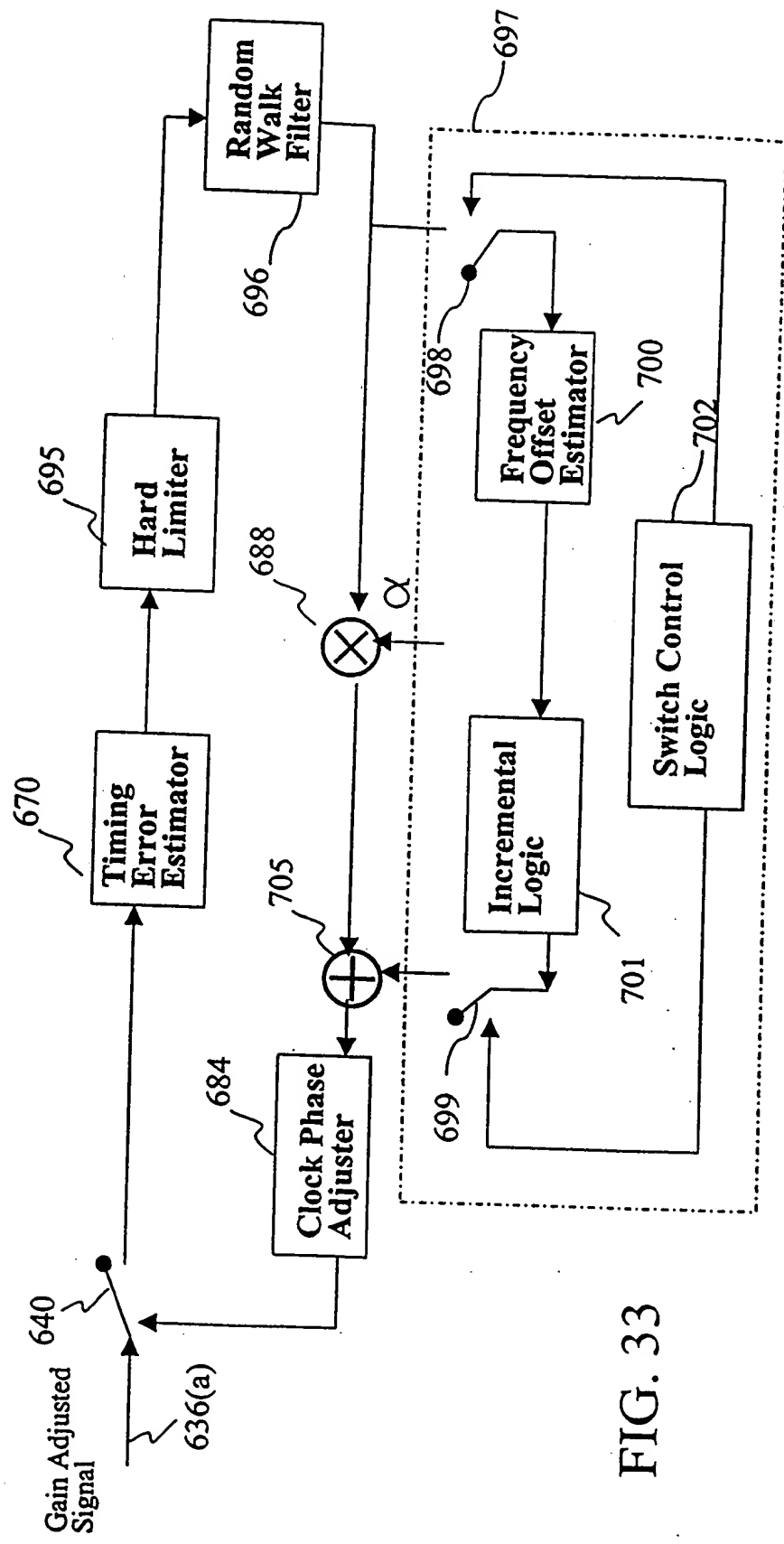


FIG. 33

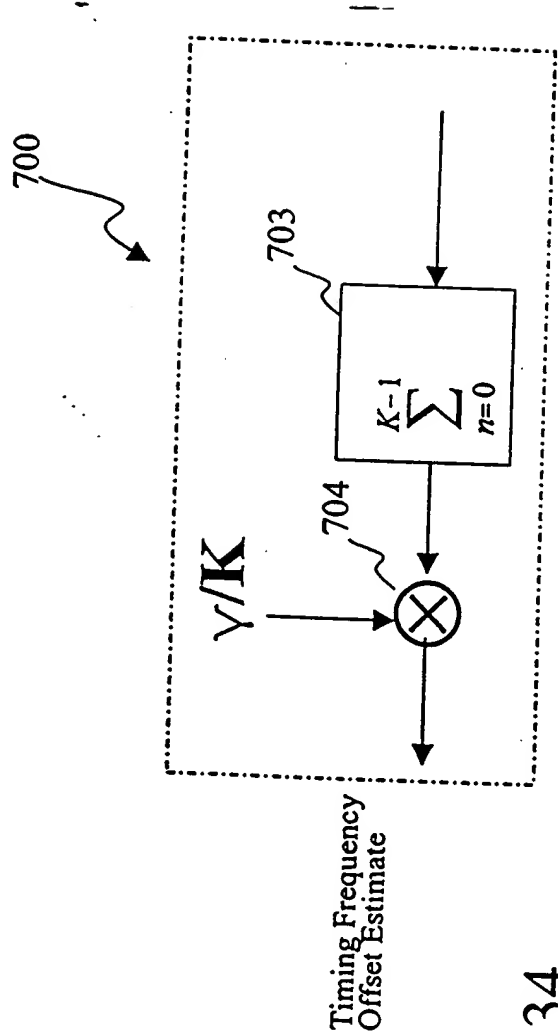


FIG. 34

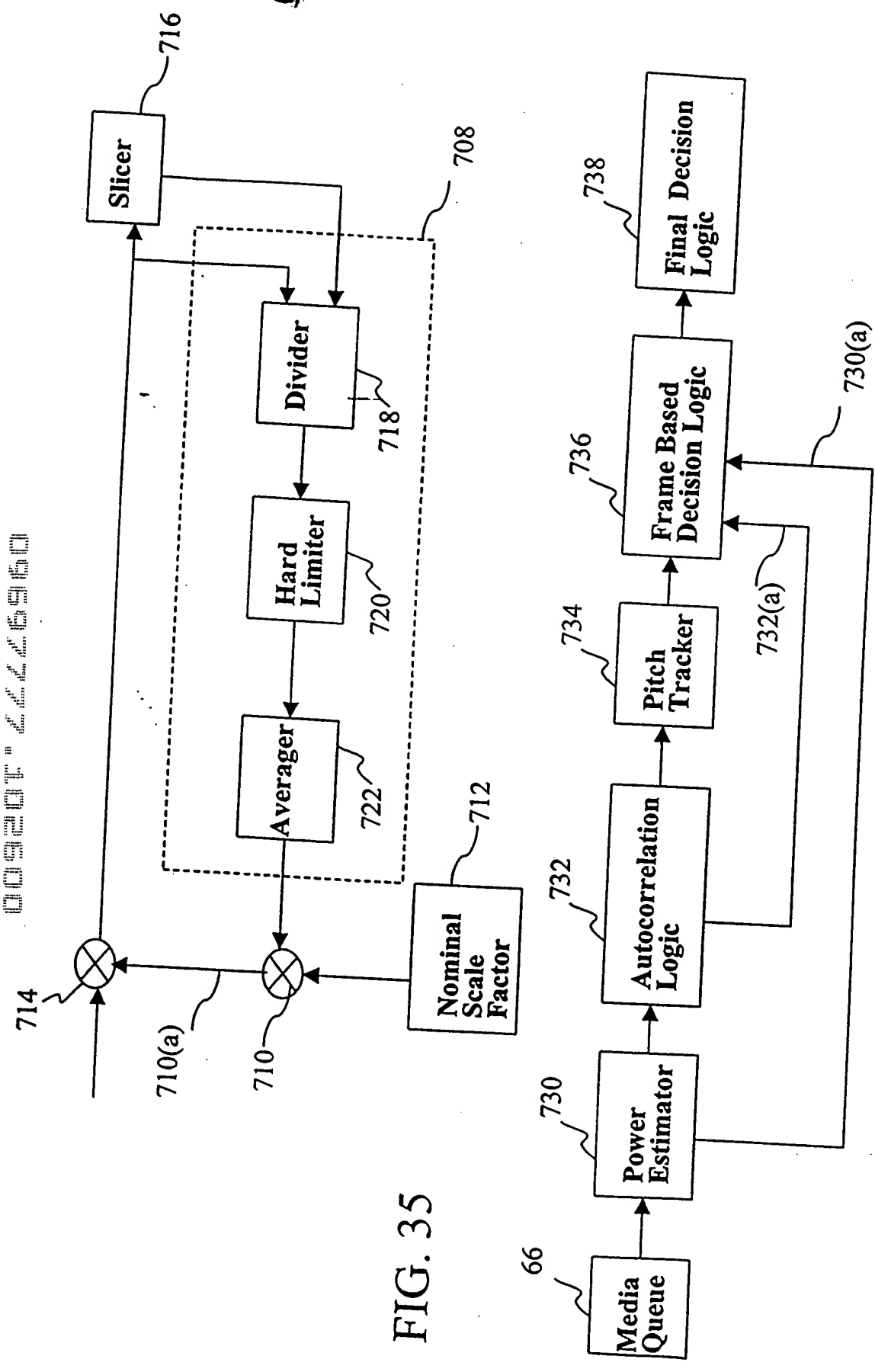


FIG. 36